

# Teoria grafów i sieci

prof. dr hab. M. Kubale

Katedra Algorytmów i Modelowania  
Systemów

# Hymn teorii grafów

Text by BOHDAN ZELINKA  
Music by ZDENĚK RYJÁČEK  
English text by DONALD A. PREECE

1.

Seven bridges spanned the River Pregel,  
Many more than might have been expected;  
Königsberg's wise leaders were delighted  
To have built such very splendid structures.

2.

Crowds each ev'ning surged towards the river,  
People walked bemused across the bridges,  
Pondering a simple-sounding challenge  
Which defeated them and left them puzzled.

3.

Here's the problem; see if you can solve it!  
Try it out at home on scraps of paper!  
STARTING OUT AND ENDING AT THE SAME SPOT,  
YOU MUST CROSS EACH BRIDGE JUST ONCE EACH  
EV'NING.

*Refrain:*

Eulerian graphs all have this restriction:  
THE DEGREE OF ANY POINT IS EVEN.  
That's the oldest graph result  
That mankind has ever known.

4.

All the folk in Königsberg were frantic!  
All their efforts ended up in failure!  
Happily, a learn-ed math'matician  
Had his house right there within the city.

5.

Euler's mind was equal to the problem:  
"Ah", he said, "You're bound to be disheartened.  
Crossing each bridge only once per outing  
Can't be done, I truly do assure you."

*Refrain:*

Eulerian graphs ...

6.

Laws of Nature never can be altered,  
We can't change them, even if we wish to.  
Nor can flooded rivers or great bridges  
Interfere with scientific progress.

7.

War brought strife and ruin to the Pregel;  
Bombs destroyed those seven splendid bridges.  
Euler's name and fame will, notwithstanding,  
Be recalled with Königsberg's for ever.

*Refrain:*

Eulerian graphs ...

8.

Thanks to Euler, Graph Theory is thriving.  
Year by year it flourishes and blossoms,  
Fertilising much of mathematics  
And so rich in all its applications.

9.

Colleagues, let us fill up all our glasses!  
Colleagues, let us raise them now to toast the  
Greatness and the everlasting glory  
Of our Graph Theory, which we love dearly!

# Hymn teorii grafów

Se- ven bri- dges spanned the Ri- ver Pre- gel,  
Ma- ny more than might have been ex- pec- ted;  
Kö- nigs- berg's wise lea- ders were de- ligh- ted To have  
built such ve- ry splen- did struc- tures.  
[ 1, 2, 4, 6, 8, 9 ]  
Refrén  
Refrain  
[ 3, 5, 7 ]  
Eu- le- rian graphs all have this re-  
stric- tion: The de- gree of a- ny point is  
e- ven. That's the ol- dest graph re-  
sult That man- kind has e- ver known.

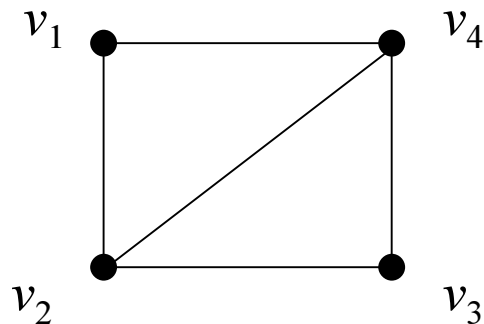
The image shows a musical score for a hymn about graph theory. It consists of nine staves of music in G major (one sharp) and common time. The lyrics are written below the notes. The score includes a main melody and a refrain marked 'Refrén' and 'Refrain' with specific measure numbers in brackets. The lyrics describe the Königsberg bridge problem and Eulerian graphs.

# Pojęcie grafu

**Def.** *Graf* prosty  $G=(V,E)$  jest uporządkowaną parą dwóch elementów: zbioru wierzchołków  $V$  oraz zbioru krawędzi  $E\subset V\times V$ . Krawędź pomiędzy wierzchołkami  $u$  oraz  $v$  oznaczamy  $\{u,v\}$ .

**Def.** Wierzchołki  $u$  i  $v$  są *sąsiednie*, gdy  $\{u,v\}\in E(G)$ . Wierzchołek  $u$  oraz krawędź  $e$  są *incydentne*, gdy  $u\in e$ .

**Przykład:**



$$G = ( \{ v_1, v_2, v_3, v_4 \}, \\ \{ \{v_1, v_2\}, \{v_2, v_3\}, \{v_3, v_4\}, \{v_4, v_1\}, \{v_1, v_3\} \} )$$

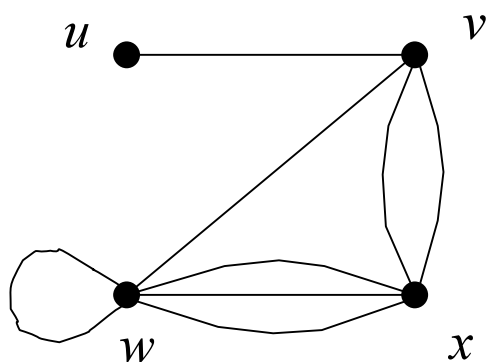
**Uwaga.** Rysunek grafu jest reprezentacją zbioru wierzchołków oraz sposobu ich połączenia, więc jego własności metryczne nie są istotne.

# Multigrafy oraz grafy skierowane

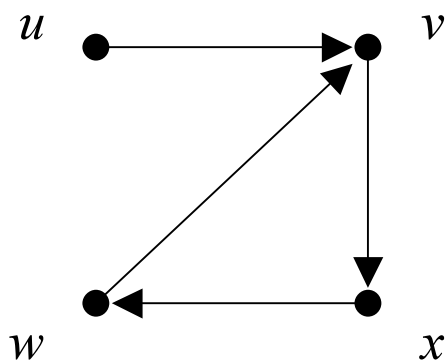
**Def.** *Multigraf* to graf, w którym pomiędzy dowolną parą wierzchołków może wystąpić więcej niż jedna krawędź oraz dopuszczalne są *pętle*, tzn. krawędzie postaci  $\{v, v\}$ , gdzie  $v \in V(G)$ .

**Def.** Graf nazywamy *digrafem* (*grafem skierowanym*), gdy krawędź łącząca  $u$  oraz  $v$  jest uporządkowaną parą postaci  $(u, v)$ .

**Przykład:**



$$G = ( \{u, v, w, x\}, \\ \{ \{u, v\}, \{w, v\}, \{w, w\}, \{w, x\}, \\ \{w, x\}, \{w, x\}, \{x, v\}, \{x, v\} \} )$$



$$D = ( \{u, v, w, x\}, \\ \{ (u, v), (w, v), (v, x), (x, w) \} )$$

# Stopień wierzchołka

**Def.** *Stopień* wierzchołka  $v$  jest oznaczany symbolem  $\deg(v)$  i jest to ilość wierzchołków sąsiednich z  $v$ . Dla danego grafu  $G$  definiujemy parametry:

$$\delta = \min \{ \deg(v) : v \in V(G) \}$$

$$\Delta = \max \{ \deg(v) : v \in V(G) \}$$

**Lemat o uściskach dłoni.** *Niech  $G$  będzie grafem prostym. Wówczas*  
$$\deg(v_1) + \dots + \deg(v_n) = 2m.$$

**Dowód:** (indukcja ze względu na liczbę krawędzi grafu)

1. Jeśli  $m = 0$ , to równość jest prawdziwa.
2. Zakładamy, że lemat zachodzi dla pewnego  $m \geq 0$ .
3. Udowodnimy równanie dla  $m + 1$ . Niech  $e \in E(G)$  będzie dowolną krawędzią. Z założenia indukcyjnego wiadomo, że

$$\deg(v_1) + \dots + \deg(v_n) = 2m(G - e),$$

gdzie  $\deg(v_i)$  jest stopniem  $v_i$  w grafie  $G - e$ . Dla grafu  $G$  suma stopni wierzchołków jest o 2 większa niż dla  $G - e$  oraz  $m(G) = m(G - e) + 1$ , co oznacza, że równanie zachodzi dla grafu  $G$  o  $m + 1$  krawędziach.

# Twierdzenie Havla

**Tw.** *Ilość wierzchołków nieparzystego stopnia w grafie prostym jest parzysta.*

**Dowód:** Z lematu o uściskach dłoni wiadomo, że

$$\deg(v_1) + \dots + \deg(v_k) + \deg(u_1) + \dots + \deg(u_l) = 2m,$$

gdzie  $v_i$  jest wierzchołkiem o nieparzystym stopni, natomiast  $u_i$  – parzystym.

Wiadomo, że suma liczb parzystych  $\deg(u_1) + \dots + \deg(u_l)$  jest liczbą parzystą, więc suma  $\deg(v_1) + \dots + \deg(v_k)$  ma również parzystą wartość, co jest spełnione tylko wtedy, gdy ilość składników jest parzysta ( $k$  jest parzyste).

**Def.** *Ciągiem stopniowym* grafu nazywamy uporządkowany nierosnąco ciąg stopni jego wierzchołków.

**Def.** Ciąg stopniowy jest *graficzny*, gdy jest on ciągiem stopni pewnego grafu.

**Tw. Havla** *Ciąg stopniowy  $(d, d_1, \dots, d_l)$  jest graficzny wtedy i tylko wtedy, gdy  $(d_1 - 1, d_2 - 1, \dots, d_d - 1, d_{d+1}, d_{d+2}, \dots, d_l)$  jest graficzny.*

# Ciągi graficzne

**Algorytm sprawdzający, czy ciąg stopni jest graficzny:**

- ➡ 1. Jeśli  $d = d_1 = \dots = d_l = 0$ , to ciąg jest graficzny
- ➡ 2. Jeśli  $d < 0$ , to ciąg nie jest graficzny
- ➡ 3. Uporządkuj ciąg nierosnąco wg stopni
- ➡ 4. Usuń z ciągu pierwszą (największą) liczbę  $d$  i odejmij 1 od kolejnych  $d$  liczb ciągu
- ➡ 5. Wróć do punktu 1

**Przykład:** Sprawdzić, czy podany ciąg jest graficzny:

$(4, 3, 3, 2, 2)$

$(2, 2, 1, 1)$

$(1, 0, 1) \longrightarrow (1, 1, 0)$

$(0, 0)$

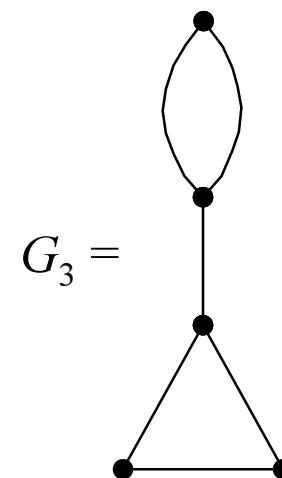
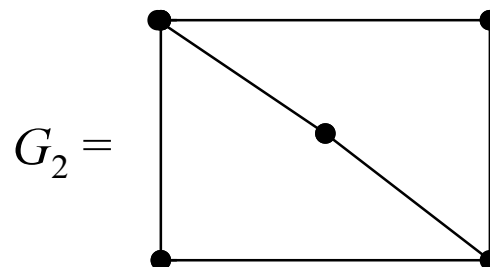
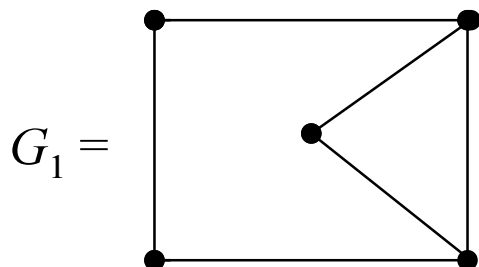
Odpowiedź: podany ciąg stopniowy jest graficzny.



# Ciągi graficzne

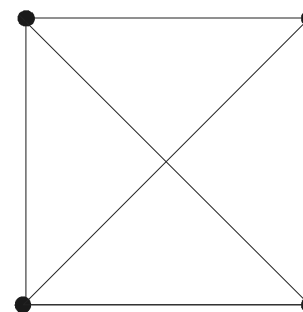
## Przykład

- Ciąg  $(6,5,4,4,3,3,2)$  nie jest graficzny, ponieważ suma stopni odpowiedniego grafu wynosiłaby 27, co nie jest możliwe na podstawie lematu o uściskach dłoni.
- Ciąg stopni  $(3,3,2,2,2)$  jest graficzny, ponieważ jest on ciągiem grafów prostych  $G_1$ ,  $G_2$  oraz multigrafu  $G_3$  pokazanych poniżej.

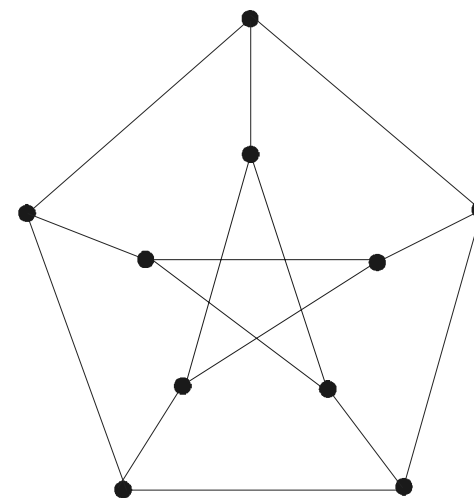


# Przykłady grafów

- *Graf pusty*  $N_n = (\{v_1, \dots, v_n\}, \emptyset)$ .
- *Graf pełny*  $K_n = (\{v_1, \dots, v_n\}, \{\{v_i, v_j\} : i, j = 1, \dots, n, i \neq j\})$ .
- *Graf  $r$ -regularny* jest grafem, dla którego zachodzi równość  $r = \delta = \Delta$  (tzn. stopień każdego wierzchołka jest równy  $r$ ). Wówczas  $m = (r \cdot n)/2$ . Graf 3-regularny nazywamy *grafem kubicznym*. Zdefiniowany wcześniej graf pełny o  $n$  wierzchołkach jest  $(n - 1)$ -regularny.



Graf  $K_4$



Graf kubiczny  
(graf Petersena)

# Operacje sumy i zespolenia

**Def.** (suma grafów)

$$G_1 \cup G_2 = (V(G_1) \cup V(G_2), E(G_1) \cup E(G_2))$$

**Def.** (zespolenie grafów)

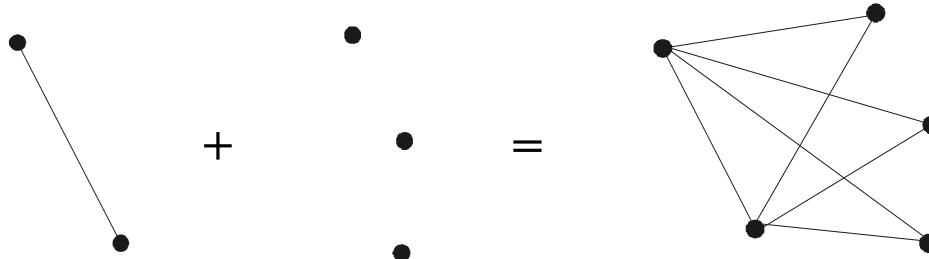
$$G_1 + G_2 = (V(G_1) \cup V(G_2), E(G_1) \cup E(G_2) \cup \{\{v_1, v_2\} : v_1 \in V(G_1), v_2 \in V(G_2)\})$$

**Tw.** Jeśli  $G = G_1 + G_2$ , to

$$n(G) = n(G_1) + n(G_2),$$

$$m(G) = m(G_1) + m(G_2) + n(G_1) \cdot n(G_2).$$

**Przykład** Zespolenie grafów  $K_2$  i  $N_3$



# Dopełnienie grafu

**Def.** Jeśli  $G$  jest grafem prostym, to jego dopełnieniem jest graf  $\overline{G}$ , o tym samym zbiorze wierzchołków oraz dwa wierzchołki są sąsiednie w  $G$  wtedy i tylko wtedy, gdy nie są sąsiednie w  $G$ .

**Uwaga** Przykładowe zależności:

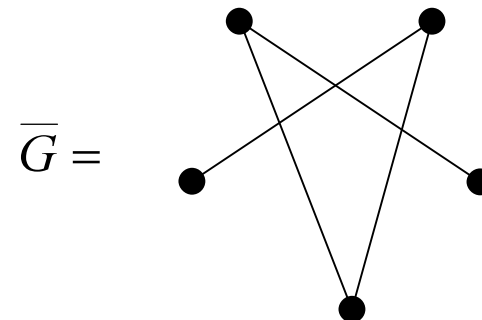
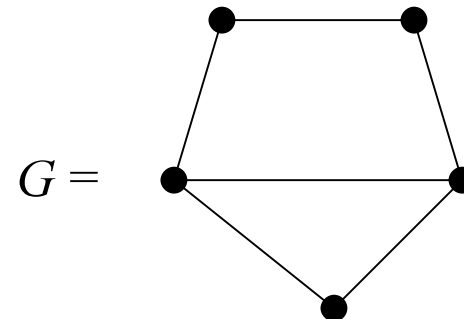
$$\overline{\overline{G}} = G,$$

$$\overline{K_n} = N_n,$$

$$\overline{K_{r,s}} = K_r \cup K_s,$$

$$\overline{G_r} = G_{n-r-1},$$

gdzie  $G_r$  oznacza dowolny graf  $r$ -regularny.



# Pojęcie podgrafu

**Def.** *Podgrafem* grafu  $G$  nazywamy dowolny graf  $H$  taki, że  $V(H) \subset V(G)$  oraz  $E(H) \subset E(G)$ .

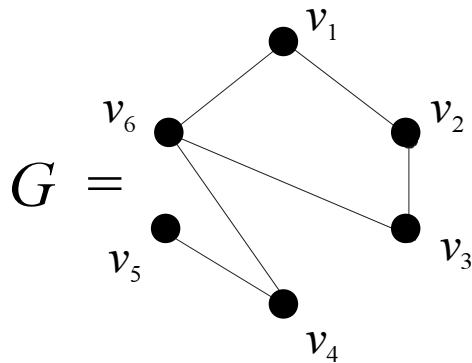
**Uwaga** Podgraf można otrzymać usuwając pewną liczbę krawędzi i (lub) wierzchołków z grafu  $G$ . Jeśli  $e \in E(G)$ , to przez  $G - e$  rozumiemy podgraf powstały przez usunięcie krawędzi  $e$  z grafu  $G$ . Jeśli  $F \subset E(G)$  to  $G - F$  jest grafem utworzonym z  $G$  w wyniku usunięcia krawędzi należących do zbioru  $F$ . Analogicznie, jeśli  $v, S$  są odpowiednio wierzchołkiem oraz zbiorem wierzchołków grafu  $G$ , to  $G - v$  oraz  $G - S$  definiujemy jako grafy powstałe poprzez usunięcie odpowiednio  $v$  lub  $S$  z grafu  $G$ .

# Podgraf indukowany

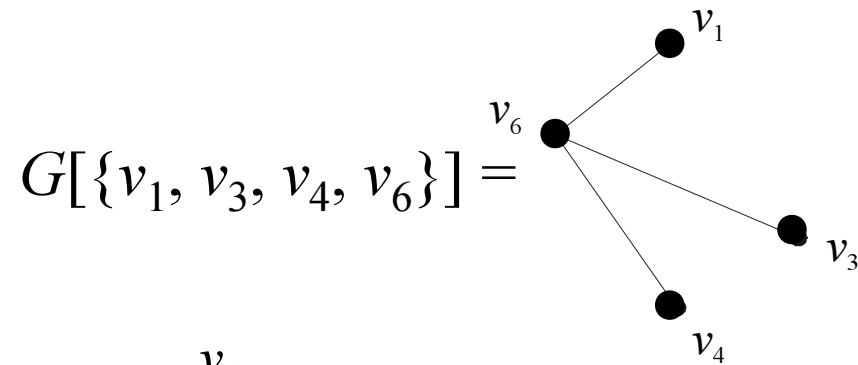
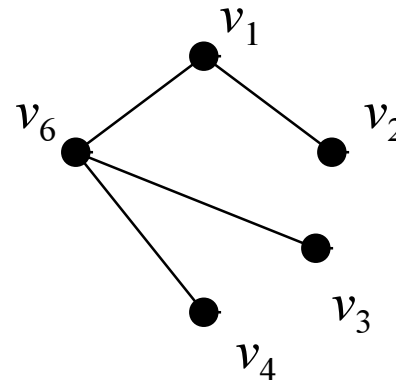
**Def.** Podgraf indukowany  $G[S]$  grafu  $G$ , gdzie  $S \subset V(G)$ , definiujemy następująco:

$$G[S] = ( S, \{ \{u,v\} : u,v \in S, \{u,v\} \in E(G) \} ).$$

**Przykład** (podgraf indukowany)



Podgraf  $G$ , który nie  
jest podgrafem  
indukowanym:

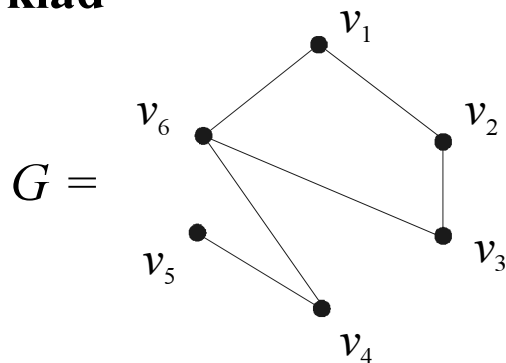


# Drogi i cykle

## Def.

- *Marszruta* to taki ciąg krawędzi grafu  $G$ , że dwie kolejne krawędzie tego ciągu są sąsiednie w  $G$  lub są identyczne.
- *Łańcuch* jest marszrutą, w której żadna krawędź nie występuje dwukrotnie.
- *Droga* to marszruta w której każdy wierzchołek występuje co najwyżej raz.
- *Cykl* to łańcuch, którego wierzchołek początkowy jest równy końcowemu.

## Przykład



marszruta:  $v_1, v_6, v_3, v_6, v_4, v_5$

łańcuch:  $v_6, v_1, v_2, v_3, v_6, v_4$

droga:  $v_1, v_2, v_3, v_6, v_4, v_5$

cykl:  $v_1, v_2, v_3, v_6, v_1$

# Drogi i cykle

**Tw.** *Jeśli  $\delta = 2$ , to graf  $G$  zawiera cykl.*

**Dowód:**

(a) Mamy  $m \geq n$ , gdyż z lematu o uściskach dłoni wiadomo, że

$$2m = \deg(v_1) + \dots + \deg(v_n) \geq n\delta = 2n.$$

(b) Udowodnimy indukcyjnie względem  $n$ , że jeśli  $m \geq n$ , to  $G$  zawiera cykl.

- Jeśli  $n = 2$ , to  $G$  zawiera cykl.
- Zakładamy, że twierdzenie zachodzi dla wszystkich grafów, których rząd nie przekracza  $n$ .
- Rozważmy  $n + 1$  wierzchołkowy graf  $G$  oraz niech  $e = \{u, v\}$  będzie jego dowolną krawędzią. Jeśli  $G - e$  jest spójny, to istnieje ścieżka z  $u$  do  $v$  w  $G - e$  więc ta ścieżka w połączeniu z  $e$  tworzy cykl w  $G$ . Jeśli  $G$  nie jest spójny to oznaczmy  $G - e = G_1 \cup G_2$ . Gdyby zachodziło  $m(G_1) \leq n(G_1) - 1$  oraz  $m(G_2) \leq n(G_2) - 1$ , to

$$m(G) = m(G_1) + m(G_2) + 1 \leq n(G_1) + n(G_2) - 1 = n(G) - 1,$$

co daje sprzeczność z zał. indukcyjnym. Stąd można przyjąć, że  $m(G_1) \geq n(G_1)$  i z założenia indukcyjnego  $G_1$  (więc również  $G$ ) zawiera cykl.

(c) Z (a) oraz (b) wynika teza.

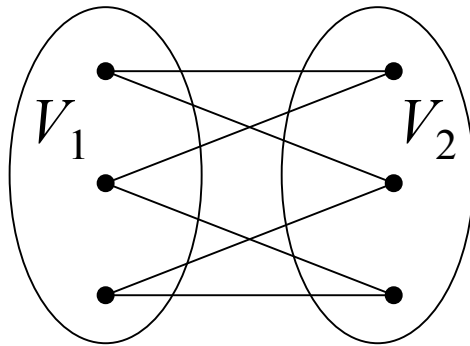


# Grafy dwudzielne

- *Graf dwudzielny*  $G = (V_1 \cup V_2, E)$ , gdzie  $G[V_1]$  oraz  $G[V_2]$  są grafami pustymi (istnieje podział  $V$  na podzbiory  $V_1$  i  $V_2$  takie, że każda krawędź grafu łączy wierzchołki z różnych zbiorów  $V_i$ ). Szczególnym przypadkiem są pełne grafy dwudzielne  $K_{a,b} = N_a + N_b$ . W takim przypadku zachodzą wzory.

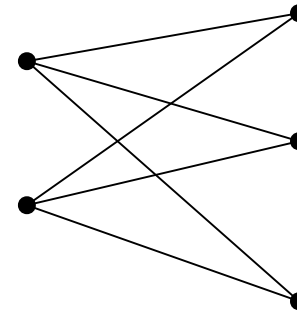
$$m(K_{a,b}) = a \cdot b,$$

$$n(K_{a,b}) = a + b.$$



Graf dwudzielny (2-regularny)

$$K_{2,3} =$$



# Grafy dwudzielne

***Tw.*** *Graf  $G$  jest dwudzielny wtedy i tylko wtedy, gdy każdy cykl w  $G$  ma parzystą długość.*

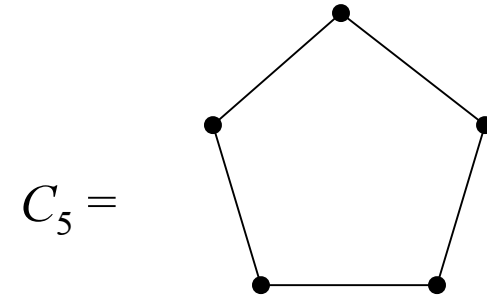
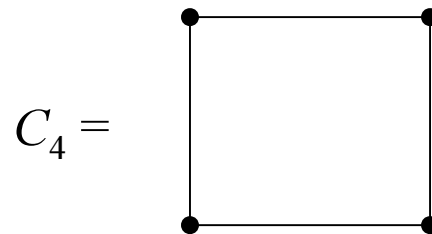
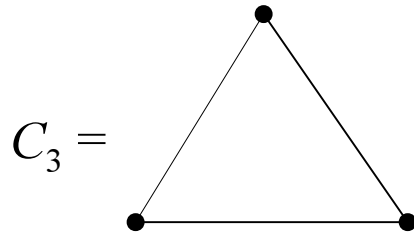
**Dowód:**

Założmy, że  $G=(V_1 \cup V_2, E)$  jest dwudzielny oraz  $v_1, \dots, v_k$  jest dowolnym jego cyklem. Bez straty ogólności można założyć, że  $v_1 \in V_1$ . Stąd, że  $v_1$  i  $v_2$  są sąsiednie wynika, że  $v_2 \in V_2$ . Ogólnie,  $v_{2p} \in V_2$  oraz  $v_{2p+1} \in V_1$ , co oznacza, że wierzchołek  $v_k \in V_2$  ponieważ jest sąsiedni z  $v_1$ .

Założmy, że każdy cykl w  $G$  ma parzystą długość. Definiujemy podział  $V$  następująco:  $A_v = \{w \in V : d(v, w) \text{ jest parzyste}\}$ ,  $B_v = V \setminus A_v$ , gdzie  $d(v, w)$  jest długością najkrótszej ścieżki łączącej  $v$  z  $w$ . Wierzchołki w  $A_v$  są parami niesąsiednie, gdyż sytuacja  $x, y \in A_v$  oraz  $\{x, y\} \in E$  oznacza, że w  $G$  występuje nieparzysty cykl o długości  $d(v, x) + d(v, y) + 1$ , sprzeczność. Podobnie można uzasadnić że krawędź pomiędzy elementami  $B_v$  implikuje istnienie nieparzystego cyklu w  $G$ .

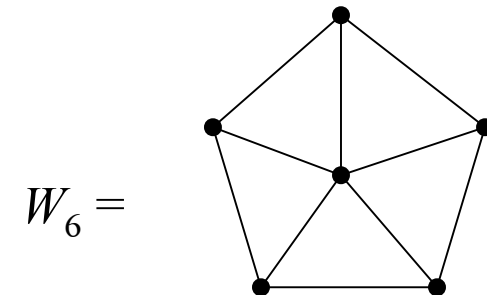
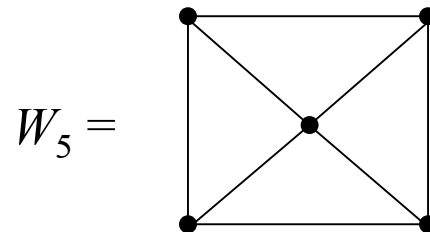
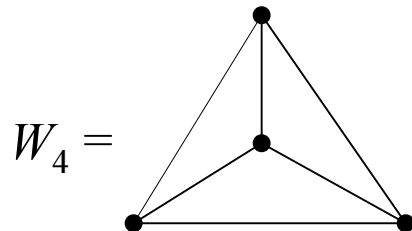
# Przykłady grafów

- *Cykl*  $C_n = ( \{v_1, \dots, v_n\} , \{ \{v_1, v_2\}, \dots, \{v_{n-1}, v_n\}, \{v_n, v_1\} \} )$



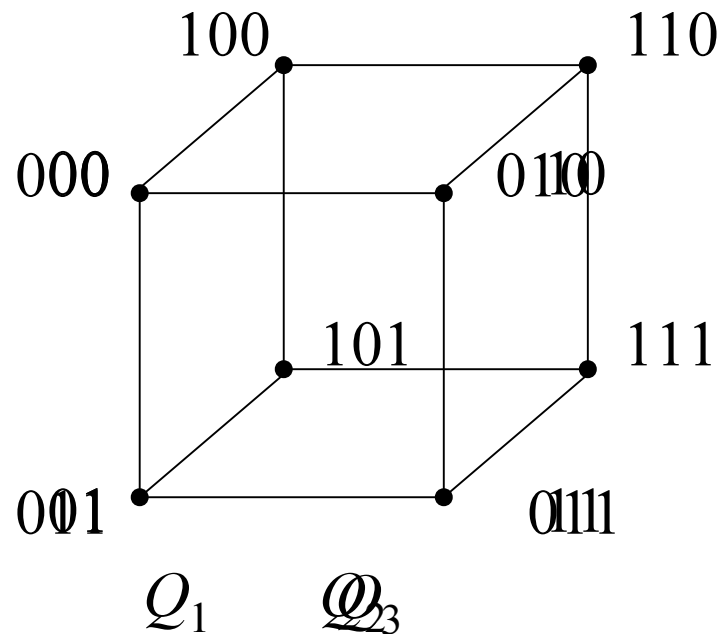
- *Koło*  $W_n = ( \{v_1, \dots, v_n\} , \{ \{v_1, v_2\}, \dots, \{v_{n-1}, v_n\}, \{v_n, v_1\} \} )$

$$W_n = C_{n-1} + N_1$$



# Hiperkostki

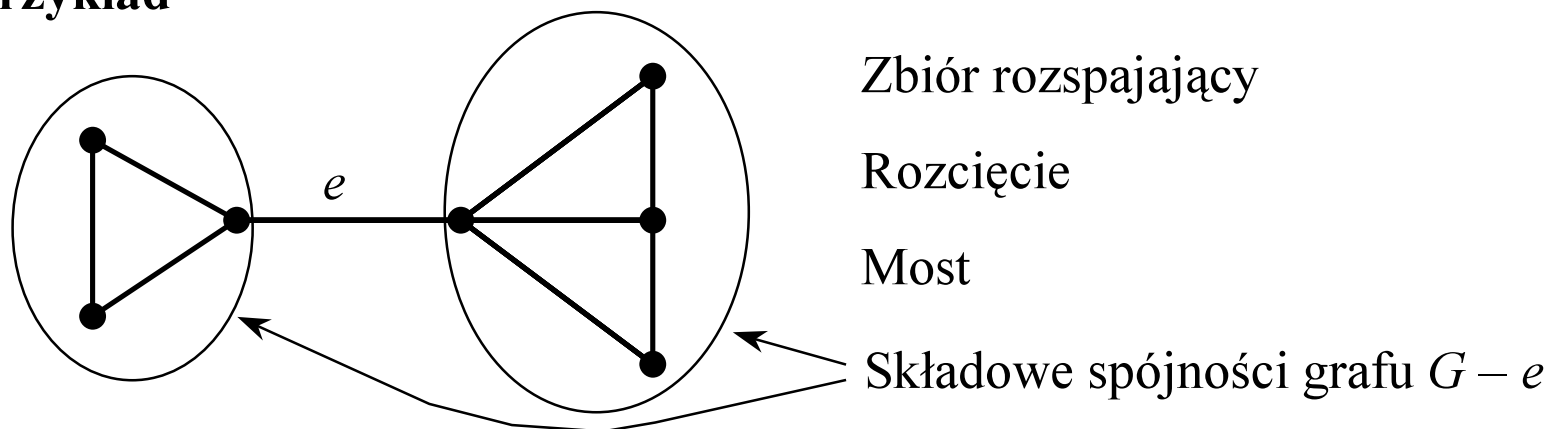
- hiperkostka  $Q_n$  jest grafem, którego wierzchołki odpowiadają wszystkim ciągom zero-jedynkowym długości  $n$ . Dwa wierzchołki są sąsiednie, o ile odpowiadające im ciągi różnią się na jednej pozycji.



# Spójność krawędziowa

**Def.** Graf jest *spójny*, gdy pomiędzy każdą parą wierzchołków istnieje droga. *Zbiór rozspajający* grafu to zbiór krawędzi, których usunięcie rozspaja graf. *Rozcięcie* to zbiór rozspajający, którego żaden właściwy podzbiór nie rozspaja grafu. *Spójność krawędziowa* jest mocą najmniejszego rozcięcia (oznaczenie:  $\lambda(G)$ ). *Składowa spójności* grafu  $G$  jest podgrafem  $H$  takim, że  $G = H \cup G'$ , dla pewnego  $G'$ . Krawędź  $e$  nazywamy *mostem*, gdy  $\{e\}$  jest rozcięciem.

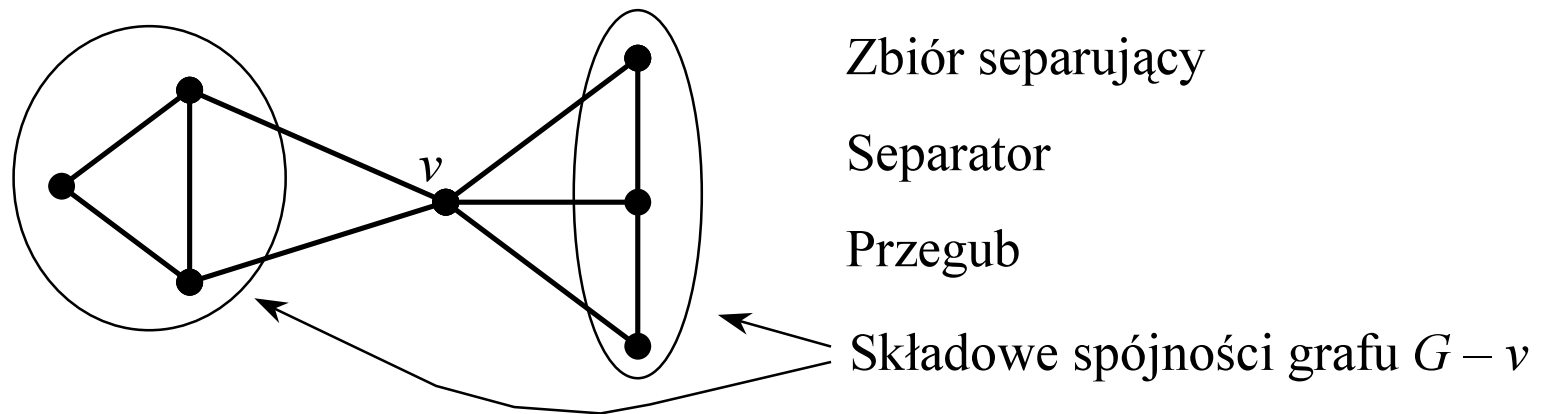
## Przykład



# Spójność wierzchołkowa

**Def.** *Zbiór separujący* grafu to zbiór wierzchołków, których usunięcie rozspaja graf. *Separator* to zbiór separujący, którego żaden właściwy podzbiór nie rozspaja grafu. *Spójność wierzchołkowa* jest mocą najmniejszego rozcięcia (oznaczenie:  $\chi(G)$ ). Wierzchołek  $v$  nazywamy *przegubem*, gdy  $\{v\}$  jest separatorem.

## Przykład



# Spójność grafu

**Tw.** *Jeśli graf  $G$  posiada  $k$  składowych spójności, to*  
$$n - k \leq m.$$

**Dowód:** Dowodzimy twierdzenie indukcyjnie względem  $k$ .

- 1) Niech  $k = 1$ . Graf ma minimalną ilość krawędzi wówczas, gdy usunięcie dowolnej z nich rozspaja graf. Wybierzmy dowolny wierzchołek będący liściem i usuńmy go z grafu wraz z incydentną krawędzią. W wyniku tej operacji liczba krawędzi i wierzchołków maleją o 1. Po pewnej liczbie kroków otrzymujemy graf  $K_2$ .
- 2) Zakładamy, że twierdzenie zachodzi dla pewnego  $k > 1$ .
- 3) Dowodzimy dla  $k + 1$ . Dodajemy do grafu krawędź  $e$  tak, aby łączyła dwie składowe spójności. Wówczas korzystając z założenia indukcyjnego otrzymujemy:

$$n(G+e) - (k - 1) \leq m(G+e).$$

Po uwzględnieniu, że  $n(G+e) = n(G)$  oraz  $m(G+e) = m(G) + 1$  otrzymujemy tezę.

# Spójność grafu

**Tw.** *Jeśli graf  $G$  posiada  $k$  składowych spójności, to*

$$m \leq (n - k)(n - k + 1)/2.$$

**Dowód:** Rozważmy  $n$ -wierzchołkowy graf  $G$ , o największej możliwej liczbie krawędzi, który posiada  $k$  składowych spójności  $G_1, \dots, G_k$  takich, że  $|V(G_{i+1})| \leq |V(G_i)|$ . Załóżmy, że wierzchołek  $u$  należy do najliczniejszej składowej spójności, natomiast  $v$  należy do składowej  $G_2$ . Zauważmy, że jeśli  $|V(G_2)| > 1$ , to przeniesienie wierzchołka  $v$  z  $G_2$  do  $G_1$  nie zmieni liczby składowych spójności, liczba krawędzi natomiast wzrośnie, co daje sprzeczność. Stąd  $|V(G_i)| = 1$  dla  $i > 1$ . Stąd,  $m(G) = m(K_{n-k}) = (n - k)(n - k + 1)/2$ , co kończy dowód.

**Wniosek** *Dowolny  $n$ -wierzchołkowy graf posiadający więcej niż  $(n - 2)(n - 1)/2$  krawędzi jest spójny.*



# Sprawdzanie spójności grafu

## Procedure Spójny( $G$ )

**begin**

$S := \{ v \};$  (\* gdzie  $v$  jest dowolnym wierzchołkiem grafu  $G$  \*)

```
while istnieje nieoznaczony
    wierzchołek  $v \in S$  do begin
```

$$S := S \cup N(v);$$

oznacz wierzchołek  $v$ ;

**end;**

**if  $S = V(G)$  then**

```
return „graf  $G$  jest spójny”;
```

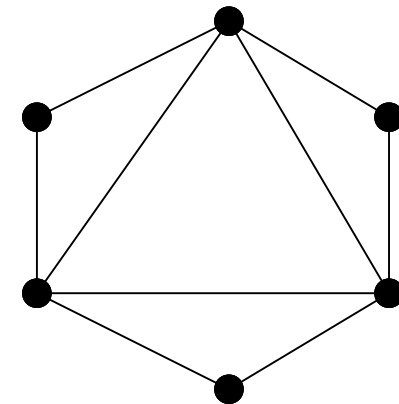
**else**

```
return „graf  $G$  nie jest spójny”;
```

**end**

### Przykład Oznaczenia:

- oznaczone elementy  $S$ ;
- nieoznaczone elementy  $S$ ;
- bieżący wierzchołek  $v$ ;



Odp: „graf  $G$  jest spójny”

# Drzewa

- *Drzewo* – graf spójny, który nie zawiera podgrafu będącego cyklem. Dla tej klasy grafów zachodzi  $m = n - 1$ . Wierzchołek o stopniu równym 1 nazywamy *liściem*.
  - ścieżki:  $P_n = (\{v_1, \dots, v_n\}, \{\{v_1, v_2\}, \dots, \{v_{n-1}, v_n\}\})$
  - gwiazdy:  $K_{1,n} = (\{v_1, \dots, v_n\}, \{\{v_1, v_2\}, \dots, \{v_1, v_n\}\}) = N_1 + N_{n-1}$
  - kometa – graf powstały poprzez połączenie pewnego wierzchołka gwiazdy z liściem należącym do ścieżki
  - gąsienica – graf, w którym można wyróżnić taką ścieżkę, że każdy liść w grafie jest sąsiedni z pewnym wierzchołkiem ścieżki
  - dwugwiazda – wszystkie wierzchołki, z wyjątkiem dwóch mają stopień równy 1
  - drzewo binarne – drzewo, w którym stopień każdego wierzchołka jest równy co najwyżej 3

# Drzewa

**Tw.** Niech  $T$  będzie drzewem o  $n$  wierzchołkach. Wówczas następujące warunki są równoważne:

- (1)  $T$  jest drzewem;
- (2)  $T$  nie zawiera cykli i ma  $n - 1$  krawędzi;
- (3)  $T$  jest grafem spójnym i ma  $n - 1$  krawędzi;
- (4)  $T$  jest grafem spójnym i każda krawędź jest mostem;
- (5) każde dwa wierzchołki  $T$  są połączone dokładnie jedną drogą;
- (6)  $T$  nie zawiera cyklu, ale po dodaniu dowolnej krawędzi otrzymany graf ma dokładnie jeden cykl.

**Dowód:** Wykażemy twierdzenie indukcyjnie względem  $n$ . Jeśli  $n = 1$ , to twierdzenie jest prawdziwe. Załóżmy, że jest prawdziwe również dla wszystkich drzew  $T$ , których rząd jest mniejszy niż  $n$ . Następnie wykażemy równoważność warunków dla drzewa  $T$  o  $n$  wierzchołkach.

# Drzewa

## Dowód (cd.):

(1)  $\Rightarrow$  (2) [ $T$  jest drzewem  $\Rightarrow T$  nie zawiera cykli i ma  $n - 1$  krawędzi]

$T$  jest drzewem, więc nie zawiera cykli. Po usunięciu dowolnej krawędzi  $e$  otrzymujemy  $T - e = T_1 \cup T_2$ . Z założenia indukcyjnego mamy  $m(T_i) = n(T_i) - 1$ ,  $i = 1, 2$ . Stąd

$$m(T) = n(T_1) - 1 + n(T_2) - 1 + 1 = n(T) - 1.$$

(2)  $\Rightarrow$  (3) [ $T$  nie zawiera cykli i ma  $n - 1$  krawędzi  $\Rightarrow T$  jest grafem spójnym i ma  $n - 1$  krawędzi]

Założmy, że  $T$  nie jest grafem spójnym. Wtedy  $T = T_1 \cup T_2$ . To oznacza, że

$$m(T) = m(T_1) + m(T_2) = n(T_1) + n(T_2) - 2,$$

na mocy założenia indukcyjnego. Stąd  $m(T) = n(T) - 2$ . Ale z warunku (2) wynika, że  $m(T) = n(T) - 1$ , co daje sprzeczność.

# Drzewa

## Dowód (cd.):

(3)  $\Rightarrow$  (4) [ $T$  jest grafem spójnym i ma  $n - 1$  krawędzi  $\Rightarrow T$  jest grafem spójnym i każda krawędź jest mostem]

Graf  $T - e$  nie jest spójny, gdyż podaliśmy wcześniej twierdzenie mówiące, iż dla grafu o  $k$  składowych spójności zachodzi  $n - k \leq m$ . W przypadku grafu  $T - e$  mamy  $k = 1$  oraz  $m = n - 2$ .

(4)  $\Rightarrow$  (5) [ $T$  jest grafem spójnym i każda krawędź jest mostem  $\Rightarrow$  każde dwa wierzchołki  $T$  są połączone dokładnie jedną drogą]

Gdyby pomiędzy pewną parą wierzchołków istniały dwie drogi, to tworzyłyby one cykl. Usunięcie dowolnej krawędzi z tego cyklu nie spowoduje rozspojenia grafu, co przeczy założeniu, iż każda krawędź jest mostem.

# Drzewa

## Dowód (cd.):

(5)  $\Rightarrow$  (6) [każde dwa wierzchołki  $T$  są połączone dokładnie jedną drogą  
 $\Rightarrow T$  nie zawiera cyklu, ale po dodaniu dowolnej krawędzi  
otrzymany graf ma dokładnie jeden cykl]

Założmy, że graf  $T$  zawiera cykl. Wówczas pewne dwa wierzchołki, należące do tego cyklu, są połączone dwiema różnymi drogami. Sprzeczność. Po operacji dodania krawędzi graf  $T + \{u, v\}$  zawiera cykl, ponieważ wierzchołki  $u$  oraz  $v$  są połączone w grafie  $T$  drogą.

(6)  $\Rightarrow$  (1) [ $T$  nie zawiera cyklu, ale po dodaniu dowolnej krawędzi  
otrzymany graf ma dokładnie jeden cykl  $\Rightarrow T$  jest drzewem]

Wystarczy wykazać, że graf  $T$  jest spójny. Gdyby tak nie było, to  $T$  graf  $T + \{u, v\}$  nie zawiera cyklu, gdzie  $T = T_1 \cup T_2$  oraz  $u \in V(T_1)$ ,  $v \in V(T_2)$ . Sprzeczność.

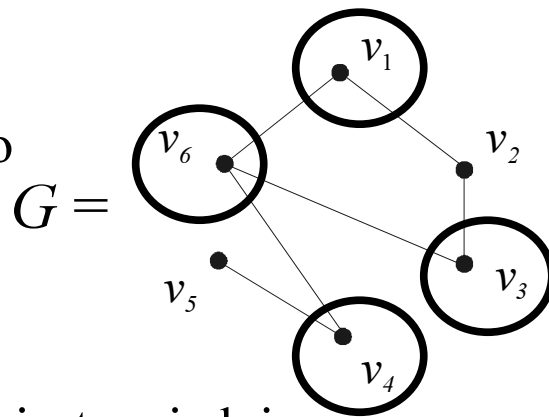
# Macierz sąsiedztwa

Macierz sąsiedztwa jest strukturą danych służącą do reprezentacji grafów w pamięci komputera. Dla danego grafu  $G$  określamy kwadratową tablicę  $M$  o wymiarach  $n \times n$  taką, że

$$M[i, j] = \begin{cases} 0, & \text{gdy } \{v_i, v_j\} \notin E(G) \\ 1, & \text{gdy } \{v_i, v_j\} \in E(G) \end{cases}$$

## Przykład

Przykład: sąsiedztwo wierzchołka  $v_6$



Wierzchołek  $v_6$  jest sąsiedni z:  $v_1$ ,  $v_3$  i  $v_4$

$M =$

0	1	0	0	0	1
1	0	1	0	0	0
0	1	0	0	0	1
0	0	0	0	1	1
0	0	0	1	0	0
1	0	1	1	0	0

# Macierz sąsiedztwa

## Zalety:

- sprawdzenie, czy  $\{v_i, v_j\} \in E(G)$ , dodanie oraz usunięcie krawędzi to operacje dokonywane w stałym czasie
- struktura danych łatwa w implementacji

## Wady:

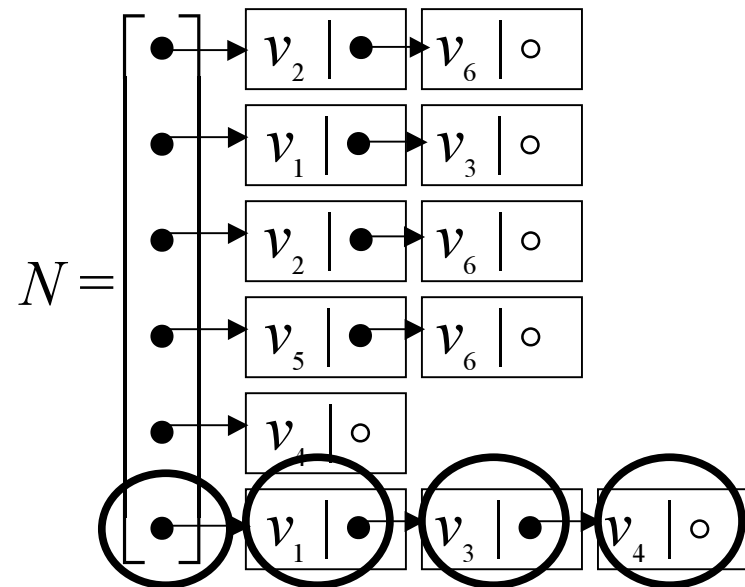
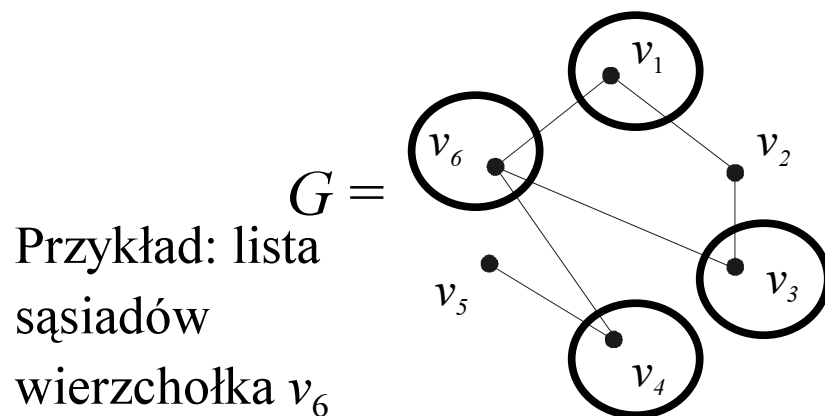
- przechowywanie macierzy wymaga  $O(n^2)$  pamięci
- przejście zbioru krawędzi dokonywane w czasie  $O(n^2)$  zamiast  $O(m)$



# Lista sąsiedztwa

Lista sąsiedztwa jest strukturą danych, w której występuje  $n$ -elementowy wektor  $N$  zwany nagłówkiem taki, że  $N[i]$  jest wskaźnikiem na listę zawierającą sąsiadów wierzchołka  $v_i$ .

## Przykład



Wierzchołek  $v_6$  jest sąsiedni z:  $v_1$ ,  $v_3$  oraz  $v_4$

# Lista sąsiedztwa

## Zalety:

- przejrzenie zbioru krawędzi dokonywane w czasie  $O(m)$
- oszczędność pamięci – wymagana pamięć rzędu  $O(m)$

## Wady:

- sprawdzenie, czy  $\{v_i, v_j\} \in E(G)$  wymaga czasu proporcjonalnego do  $\min\{\deg(v_i), \deg(v_j)\}$
- usunięcie krawędzi  $\{u, v\}$  wymaga czasu proporcjonalnego do  $\max\{\deg(u), \deg(v)\}$

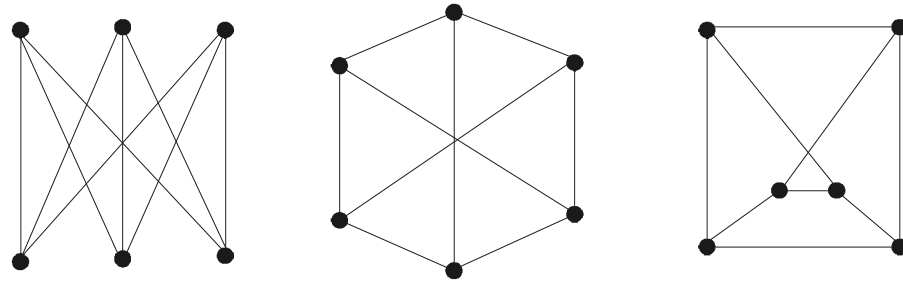
# Izomorfizm grafów

**Def.** Niech będą dane dwa grafy  $G_1$  i  $G_2$  o tej samej liczbie wierzchołków. Powyższe grafy są izomorficzne o ile istnieje bijekcja  $f: V(G_1) \rightarrow V(G_2)$  taka, że wierzchołki  $u$  i  $v$  są sąsiednie w grafie  $G_1$  wtedy i tylko wtedy, gdy wierzchołki  $f(u)$  i  $f(v)$  są sąsiednie w  $G_2$ .

**Tw.** Jeśli grafy  $G_1$  i  $G_2$  są izomorficzne, to

1.  $|V(G_1)| = |V(G_2)|$
2.  $|E(G_1)| = |E(G_2)|$
3. Ciągi stopniowe tych grafów są sobie równe

**Przykład** Następujące trzy grafy są izomorficzne:

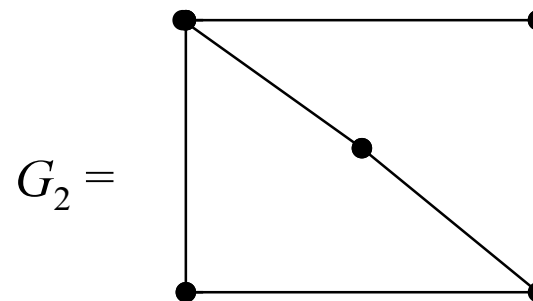
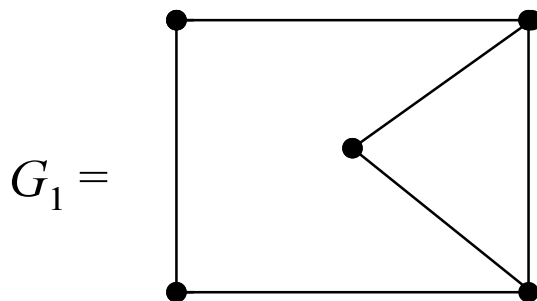


# Izomorfizm grafów

**Uwaga.** Warunki podane w powyższym twierdzeniu nie są wystarczające do tego, aby dwa grafy były izomorficzne.

Dla poniższych dwóch grafów  $G_1, G_2$  mamy

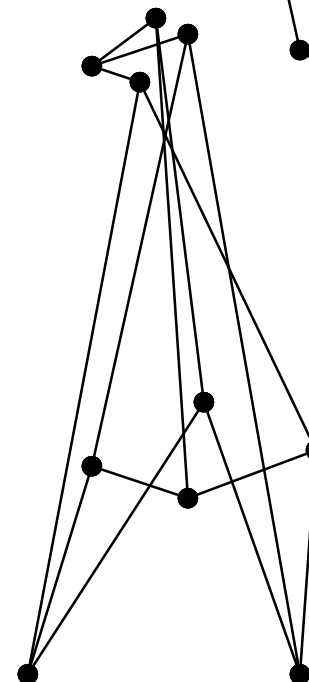
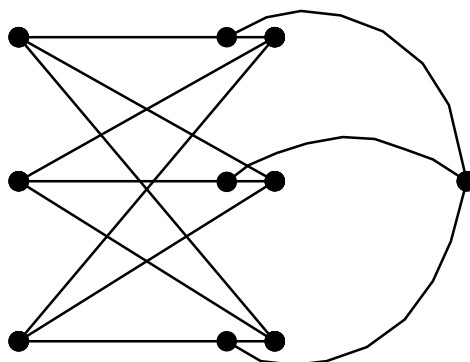
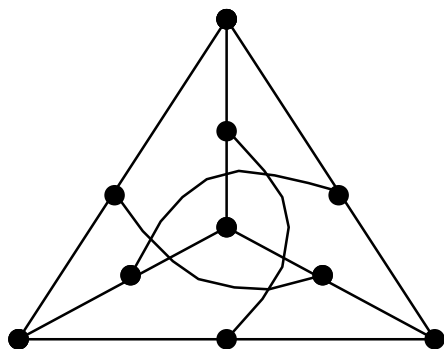
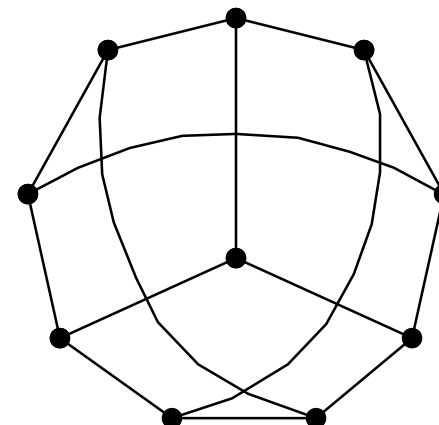
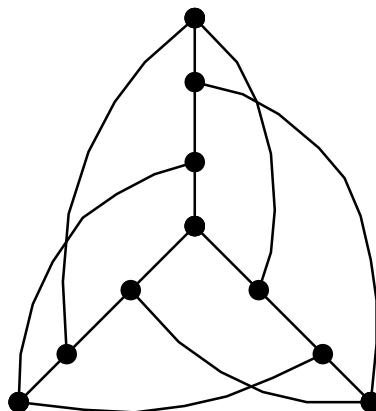
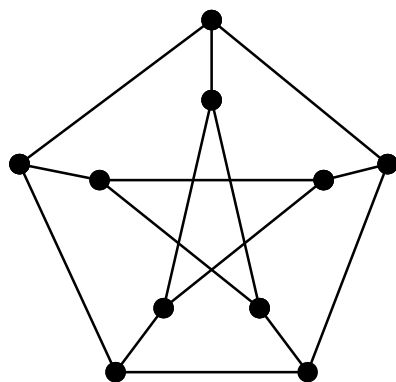
1.  $|V(G_1)| = |V(G_2)|$
2.  $|E(G_1)| = |E(G_2)|$
3. *Ciągi stopniowe tych grafów są sobie równe,*  
lecz nie są one izomorficzne.



**Uwaga** Nie wiadomo, czy istnieje wielomianowy algorytm, stwierdzający, czy podane na wejściu dwa grafy są izomorficzne.

# Izomorfizm grafów

**Przykład** Sześć postaci grafu Petersena



# Szukanie najkrótszych dróg

**Algorytm Dijkstry** – znajduje najkrótszą drogę z wierzchołka  $s$  do dowolnego innego wierzchołka w grafie  $G$ . Zakładamy, że krawędź  $\{u, v\}$  posiada etykietę  $d_{u,v}$ , będącą jej długością. Etykieta  $\text{lab}(v)$  jest szukaną długością drogi z  $s$  do  $v$ .

**Procedure** Dijkstra( $G, s$ )

**begin**

$S := \emptyset$ ;  $\text{lab}(s) = 0$ ;  $\text{lab}(v) = +\infty$  dla  $v \neq s$ ;

**for**  $i := 1$  **to**  $n - 1$  **do begin**

znajdź  $v \in V \setminus S$ , posiadający minimalną etykietę  $\text{lab}(v)$ ;

$S := S \cup \{v\}$ ;

**for** każdy sąsiad  $u \in V \setminus S$  **do begin**

$\text{lab}(v) := \min\{ \text{lab}(u), \text{lab}(v) + d_{u,v} \}$ ;

**end**

**end**

**end**

# Algorytm Dijkstry

**Procedure Dijkstra( $G, s$ )**

**begin**

**→**  $S := \emptyset$ ;  $\text{lab}(s) = 0$ ;  $\text{lab}(v) = +\infty$  dla  $v \neq s$ ;

**for**  $i := 1$  **to**  $n - 1$  **do begin**

**→**     znajdź  $v \in V \setminus S$ , o minimalnym  $\text{lab}(v)$ ;

**→**      $S := S \cup \{v\}$ ;

**→**     **for** każdy sąsiad  $u \in V \setminus S$  **do begin**

$\text{lab}(v) := \min\{\text{lab}(u), \text{lab}(v) + d_{u,v}\}$ ;

**end**

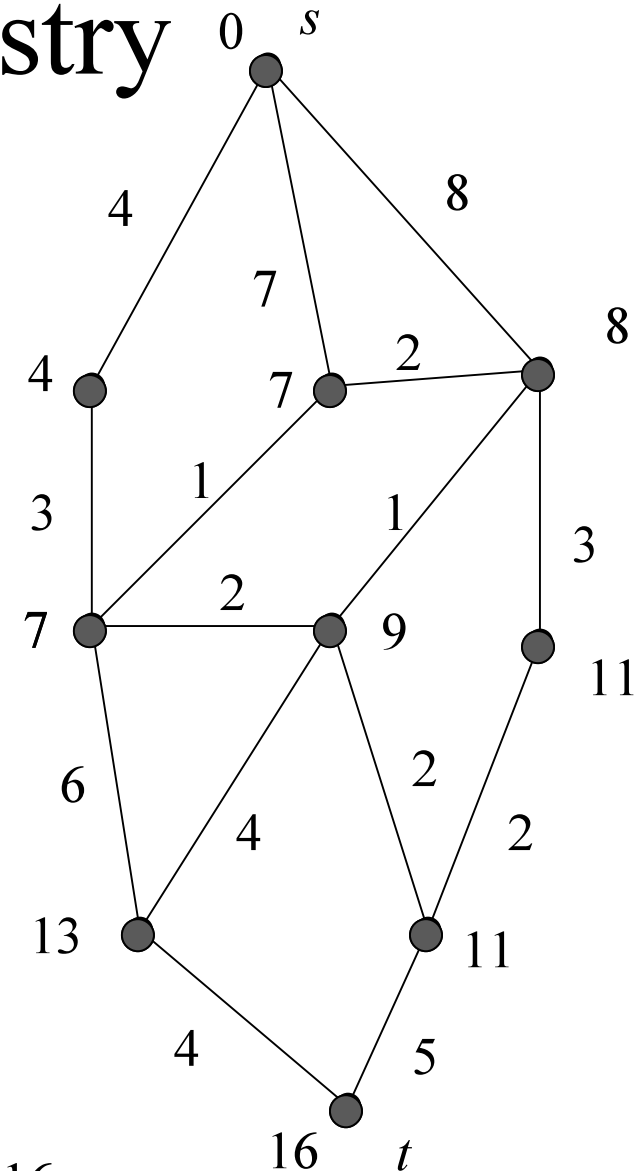
**end**

**end**

Szukamy długości najkrótszej drogi z  $s$  do  $v$ .

Elementy zbioru  $S$  oznaczamy kolorem czerwonym.

Odpowiedź: najkrótsza droga z  $s$  do  $t$  ma długość 16.



# Szukanie najdłuższej drogi

$D$  – acykliczny digraf z jednym źródłem  $s$ . Rozwiązujemy problem znalezienia najdłuższej drogi z  $s$  do pewnego wierzchołka  $t$ . Długość (waga) łuku  $(u,v)$  jest oznaczana symbolem  $d_{(u,v)}$

**Procedure** NajdłuższaDroga( $G, s, t$ )

**begin**

$\text{lab}(s) = 0$ ;

**while** wierzchołek  $t$  nie jest oznaczony **do begin**

        znajdź  $v \in V \setminus S$  osiągalny wyłącznie z zaetykietowanych wierzchołków;

$\text{lab}(v) := \max \{ \text{lab}(u) + d_{(u,v)} : (u,v) \in E(D) \}$ ;

**end**

**end**



# Szukanie najdłuższej drogi

**Procedure** NajdłuższaDroga(  $G, s, t$  )

**begin**

➡  $\text{lab}(s) = 0;$

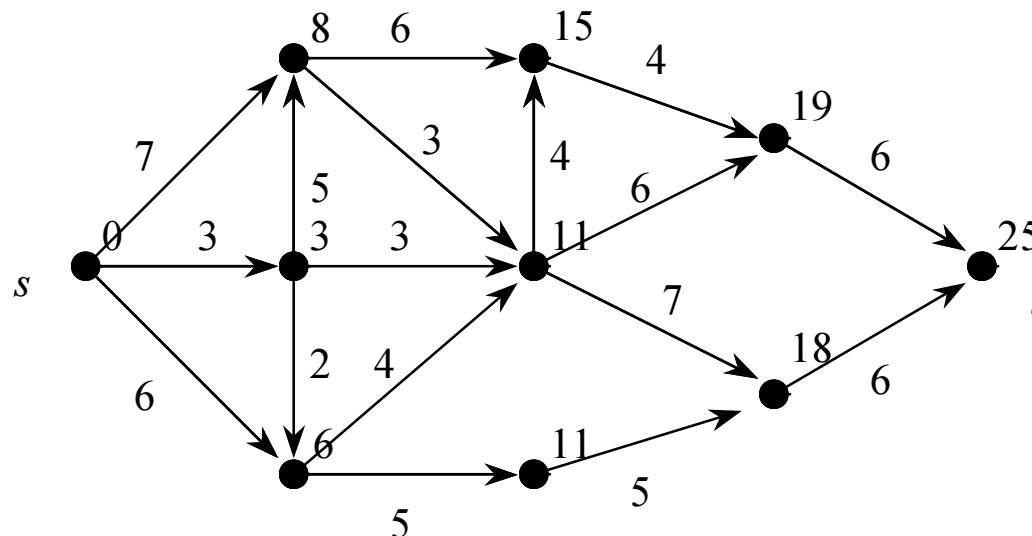
**while** wierzchołek  $t$  nie jest oznaczony **do begin**

➡ znajdź  $v \in V \setminus S$  osiągalny wyłącznie z zaetykietowanych wierzchołków;

➡  $\text{lab}(v) := \max \{ \text{lab}(u) + d_{(u,v)} : (u,v) \in E(D) \};$

**end**

**end**



# Drzewa spinające

**Def.** Niech  $G$  będzie grafem spójnym o  $n$  wierzchołkach. *Drzewo spinające* grafu  $G$  to dowolny jego  $n$ -wierzchołkowy podgraf będący drzewem. Jeśli  $G$  jest niespójny, to powyższy podgraf nazywamy *lasem spinającym*.

**Def.** *Liczba cykломatyczna* grafu  $G$  to liczba krawędzi, których usunięcie z  $G$  prowadzi do utworzenia drzewa (lasu) spinającego i jest oznaczana symbolem  $\gamma(G)$ .

## Przykłady

$$\gamma(T) = 0, \quad T - \text{drzewo},$$

$$\gamma(L) = 0, \quad L - \text{las},$$

$$\gamma(U) = 1, \quad U - \text{graf jednocykliczny},$$

$$\gamma(K_n) = n(n-1)/2 - n + 1,$$

$$\gamma(W_n) = n.$$

# Drzewa spinające

**Tw.** *Dla dowolnego grafu  $G$  o  $k$  składowych spójności zachodzi*

$$\gamma(G) = m - n + k.$$

**Dowód:** Rozważmy najpierw przypadek, gdy  $G$  jest spójny. Wiadomo, że  $n$  wierzchołkowe drzewo ma  $n - 1$  krawędzi. Aby w grafie  $G$  znaleźć podgraf będący drzewem spinającym, usuwamy wszystkie krawędzie, z wyjątkiem tych  $n - 1$ , co oznacza, że musimy usunąć  $m - n + 1$  krawędzi.

Założmy teraz, że  $G$  nie jest spójny. Wówczas  $G = G_1 \cup \dots \cup G_k$ , dla pewnego  $k > 1$ . Możemy założyć, że każdy podgraf  $G_i$  jest spójny. Udowodniliśmy powyżej, że  $\gamma(G_i) = m_i - n_i + 1$ , dla każdego  $i = 1, \dots, k$ , gdzie  $n_i = |V(G_i)|$ ,  $m_i = |E(G_i)|$ . Dodając równania stronami otrzymujemy:

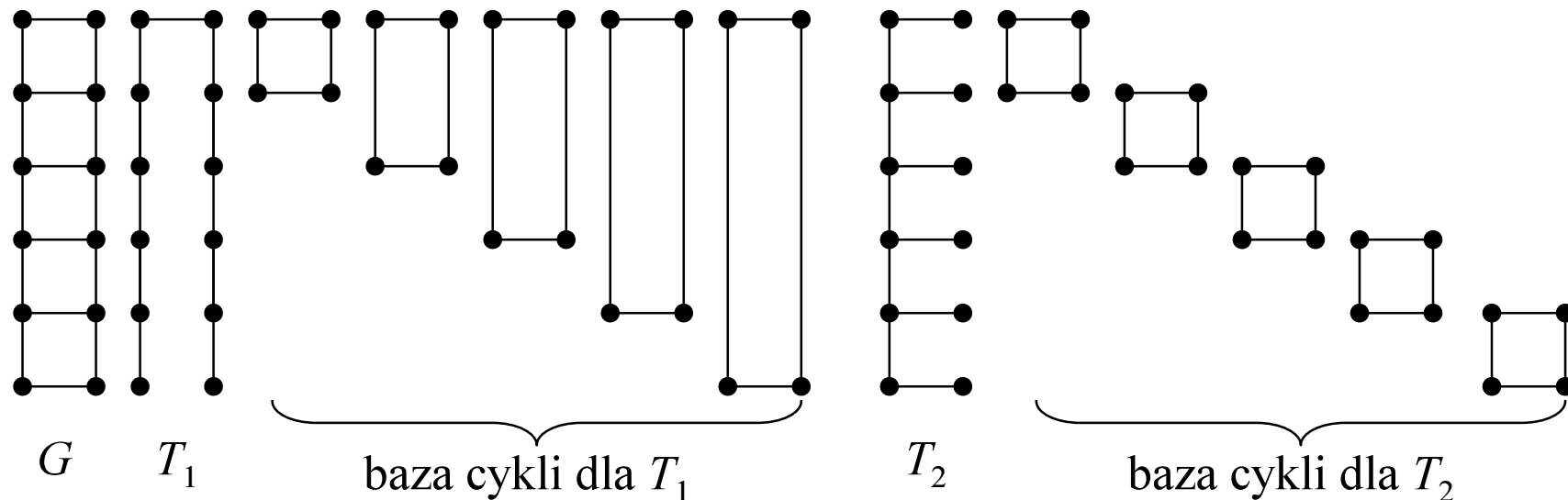
$$\gamma(G_1) + \dots + \gamma(G_k) = (m_1 + \dots + m_k) - (n_1 + \dots + n_k) + k = m - n + k,$$

co kończy dowód, gdyż  $\gamma(G) = \gamma(G_1) + \dots + \gamma(G_k)$ .

# Baza cykli

**Def** Niech  $T$  będzie lasem spinającym grafu  $G$ . *Fundamentalny zbiór cykli* (*baza cykli*) jest to zbiór  $\gamma(G)$  różnych cykli grafu  $G$  taki, że każdy cykl do niego należący powstał przez dodanie pewnej krawędzi ze zbioru  $E(G) \setminus E(T)$ .

**Przykład** Dwa fundamentalne zbiory cykli pewnego grafu, uzyskane za pomocą różnych drzew spinających  $T_1$  i  $T_2$ .



# Minimalne drzewa spinające

Niech będzie dany graf  $G$ . Zakładamy, że z każdą krawędzią  $e_i \in E(G)$  jest skojarzona pewna liczba nieujemna, będąca wagą tej krawędzi. Rozważamy problem szukania drzewa spinającego którego suma wag krawędzi jest minimalna. Przykładem rozwiązania dla tego problem jest algorytm Prima o złożoności  $O(n^2)$ .

**Procedure** Prim(  $G, s$  )

**begin**

$T = ( \{ v_i, v_j \}, \{ \{ v_i, v_j \} \} )$ , gdzie  $\{ v_i, v_j \}$  jest krawędzią o najmniejszej wadze;

**while**  $n(T) < n(G)$  **do begin**

znajdź najkrótszą krawędź  $\{u, v\}$  taką, że  $u \in V(T)$  oraz  $v \notin V(T)$ ;

$T := T \cup \{u, v\}$ ;

**end**

**end**

# Minimalne drzewa spinające

**Procedure** Prim(  $G, s$  )

**begin**

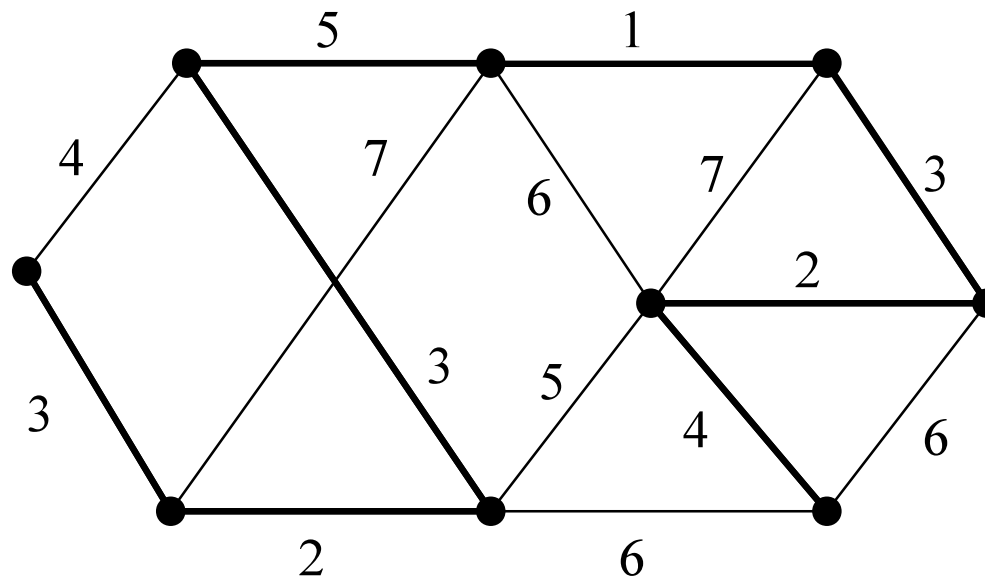
➡  $T = ( \{ v_i, v_j \}, \{ \{ v_i, v_j \} \} )$ , gdzie  $\{ v_i, v_j \}$  jest krawędzią o najmniejszej wadze;

**while**  $n(T) < n(G)$  **do begin**

➡ znajdź najkrótszą krawędź  $\{ u, v \}$  taką, że  $u \in V(T)$  oraz  $v \notin V(T)$ ;  
➡  $T := T \cup \{ u, v \}$ ;

**end**

**end**



# Minimalne drzewa spinające

Algorytm Kruskala jest drugim przykładem efektywnego szukania minimalnego drzewa spinającego. Złożoność tego algorytmu to  $O(m \log(m))$ .

**Procedure** Kruskal(  $G, s$  )

**begin**

posortuj krawędzie  $e_1, \dots, e_m$  niemalejąco wg wag;

$T = \emptyset$ ;

$i := 1$ ;  $j := 1$ ;

**repeat**

**if**  $e_i$  nie tworzy cyklu w  $T$  **then begin**

$T := T \cup \{e_i\}$ ;

$j := j + 1$ ;

**end;**

$i := i + 1$ ;

**until**  $j = n - 1$

**end**

# Minimalne drzewa spinające

**Procedure** Kruskal(  $G, s$  )

**begin**

posortuj krawędzie  $e_1, \dots, e_m$  niemalejąco wg wag;

$T = \emptyset$ ;

$i := 1$ ;  $j := 1$ ;

**repeat**

➡ **if**  $e_i$  nie tworzy cyklu w  $T$  **then begin**

$T := T \cup \{e_i\}$ ;

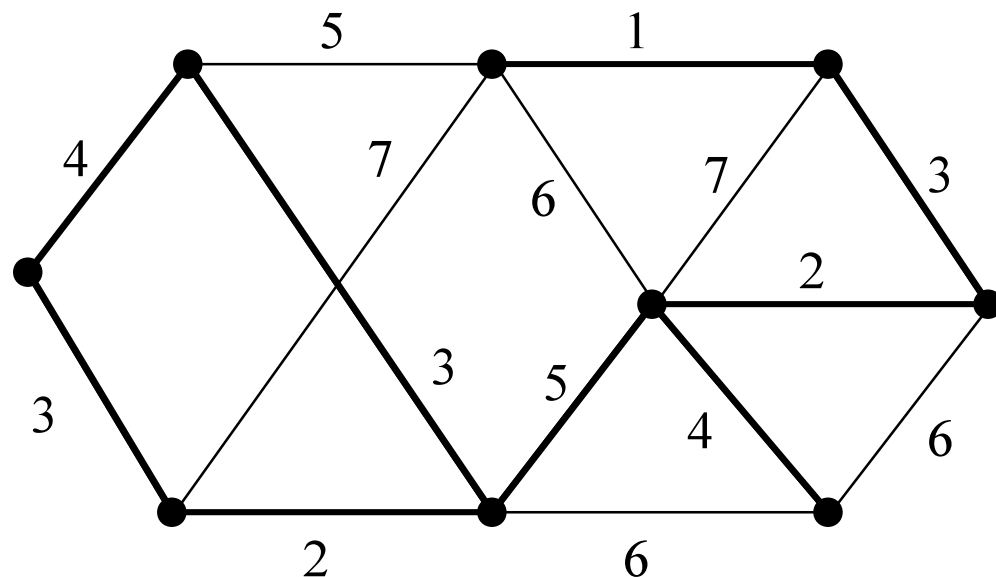
$j := j + 1$ ;

**end;**

$i := i + 1$ ;

**until**  $j = n - 1$

**end**

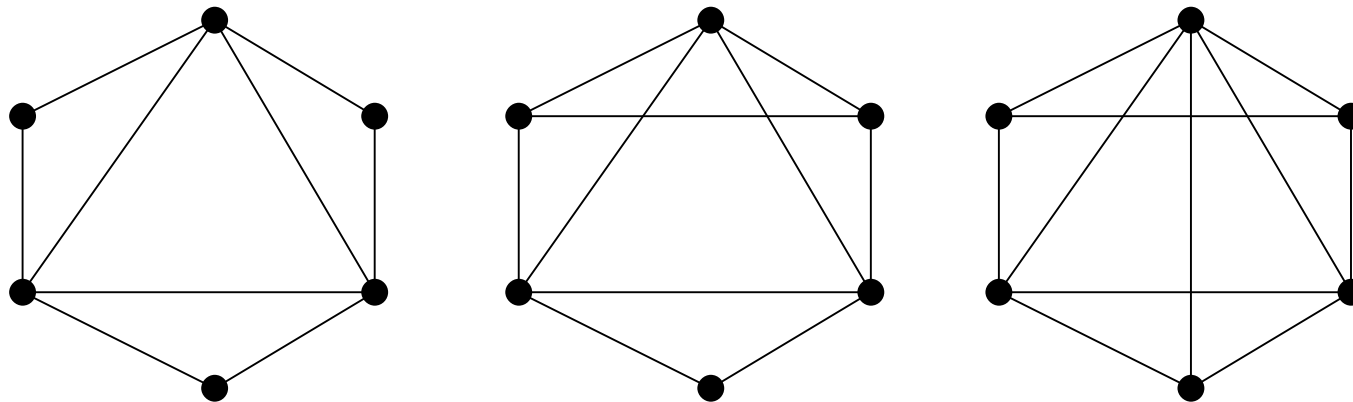




# Grafy eulerowskie

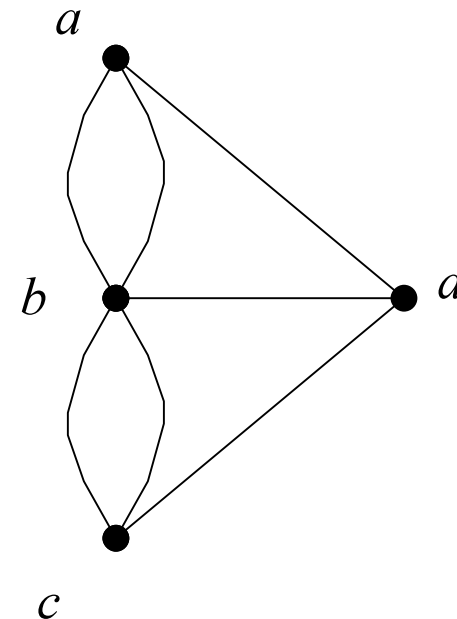
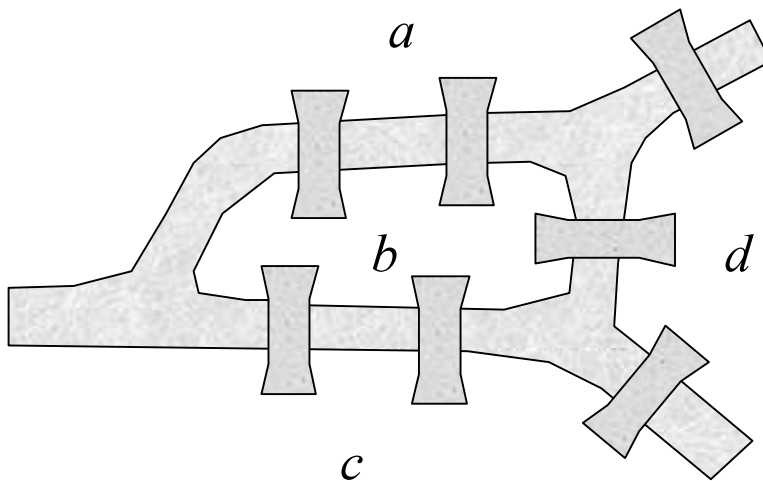
**Def.** Graf jest *grafem eulerowskim*, jeśli zawiera cykl zawierający wszystkie krawędzie. Graf jest *półeulerowski*, gdy posiada łańcuch o powyższej własności.

**Przykład** Poniżej podano reprezentacje trzech grafów, z których pierwszy jest eulerowski, drugi – półeulerowski, natomiast ostatni nie jest ani eulerowski ani półeulerowski.



# Grafy eulerowskie

Nazwa „eulerowski” pochodzi stąd, iż Euler w 1736 r. rozwiązał „problem mostów królewieckich”. Pytano, czy można przejść dokładnie raz przez każdy z siedmiu mostów (rys. po lewej) tak, aby powrócić do punktu wyjścia. Zauważmy, że problem jest równoważny stwierdzeniu, czy graf pokazany na rys. po prawej stronie jest eulerowski.



# Grafy eulerowskie

Aby podać warunek konieczny i dostateczny na to, aby dany graf był eulerowski będzie potrzebny poniższy lemat:

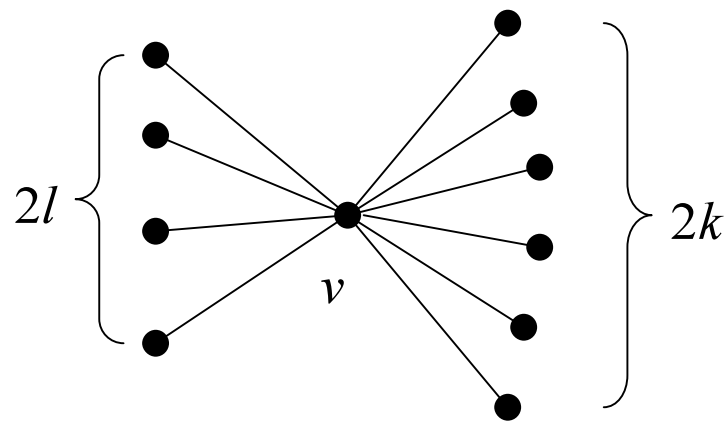
**Lemat** *Jeśli każdy wierzchołek grafu  $G$  ma stopień równy co najmniej 2, to  $G$  zawiera cykl.*

**Dowód:** Jeśli  $G$  zawiera pętle lub krawędzie wielokrotne, to lemat jest spełniony, więc zakładamy dalej, że  $G$  jest grafem prostym. Następnie konstruujemy ścieżkę: wybieramy dowolny wierzchołek  $v_1 \in V(G)$ , po czym dodajemy kolejne według zasady: jeśli  $v_i$  jest ostatnio dodanym wierzchołkiem, to jeśli  $v_i$  jest sąsiedni z  $v_j$  poprzednio dodanym do ścieżki, to otrzymujemy cykl zawierający  $v_j, \dots, v_i$  co kończy dowód. W przeciwnym wypadku wybieramy dowolnego sąsiada wierzchołka  $v_i$  (istnieje, ponieważ  $\deg(v_i) > 1$ ) i dodajemy go do ścieżki. Graf  $G$  jest skończony więc w pewnym kroku otrzymamy wierzchołek  $v_k$ , który jest sąsiedni z pewnym  $v_l$ , gdzie  $l < k$ .

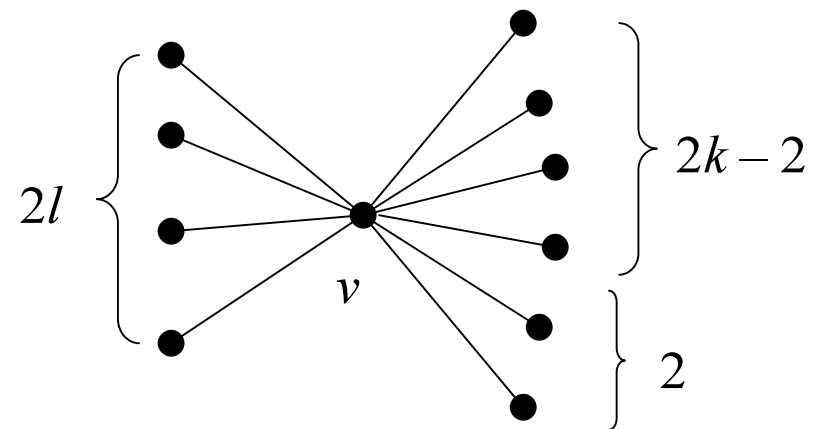
# Grafy eulerowskie

**Tw. (Euler, 1736)** *Graf spójny jest eulerowski wtedy i tylko wtedy, gdy stopień każdego wierzchołka jest liczbą parzystą.*

**Dowód:** ( $\Rightarrow$ ) Jeśli  $C$  jest cyklem Eulera w  $G$ , to trawersujemy i usuwamy krawędzie w  $E(G)$  zgodnie z kolejnością zadaną przez  $C$ . Gdy przechodzimy przez dowolny wierzchołek  $v$ , to usuwamy dwie incydentne z nim krawędzie, więc stopień tego wierzchołka w tak zredukowanym grafie pozostaje parzysty. Na rys. poniżej kolorem czerwonym oznaczono krawędzie, które zostały usunięte z  $G$ .



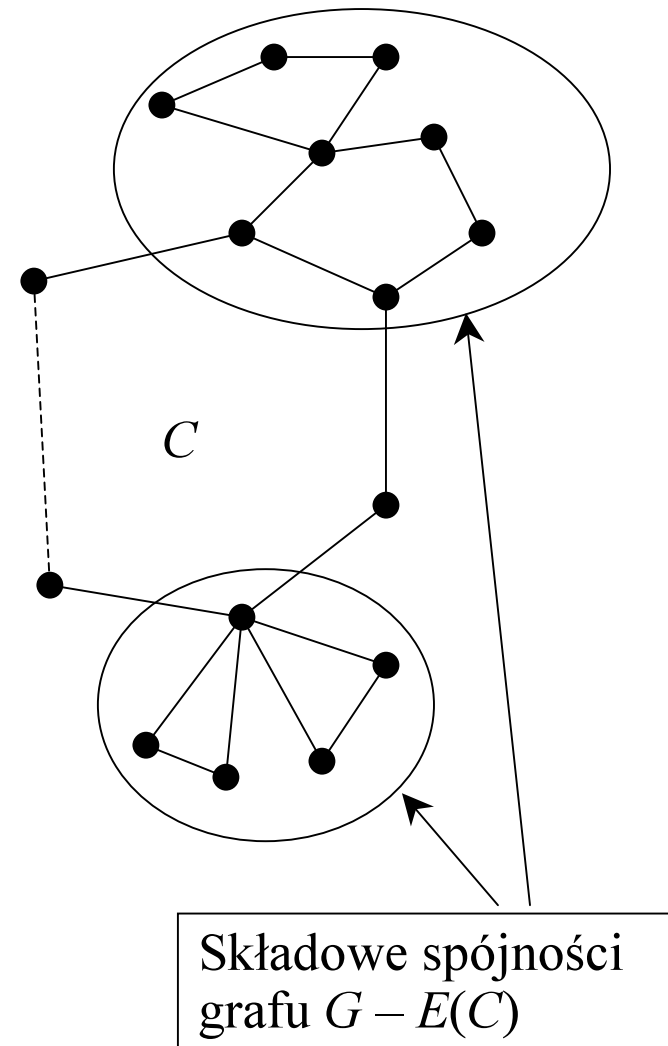
(przed przejściem przez  $v$ )



(po przejściu przez  $v$ )

# Grafy eulerowskie

**Dowód tw. Eulera** ( $\Leftrightarrow$ )  $G$  jest spójny, więc dla każdego  $v$  zachodzi  $\deg(v) > 1$  więc z poprzedniego lematu wiadomo, że  $G$  zawiera cykl, który oznaczmy przez  $C$ . Twierdzenie dowodzimy przez indukcję względem  $m$ . Jeśli  $C = G$ , to dowód jest zakończony. W przeciwnym wypadku każda składowa spójności grafu  $G - E(C)$  spełnia założenie twierdzenia, więc z założenia indukcyjnego jest eulerowska. Znajdujemy cykl Eulera w  $G$  następująco: przechodzimy przez kolejne wierzchołki w  $C$  i jeśli bieżący wierzchołek należy do pewnej składowej spójności, to trawersujemy cykl Eulera w tej składowej, powracając do tego samego wierzchołka w  $C$ .



# Grafy eulerowskie

**Wniosek** *Graf spójny jest eulerowski wtedy i tylko wtedy, gdy zbiór jego krawędzi można podzielić na rozłączne cykle.*

**Wniosek** *Graf spójny jest półeulerowski, gdy posiada co najwyżej dwa wierzchołki nieparzystego stopnia. Jeden z nich jest początkiem, a drugi końcem łańcucha Eulera.*

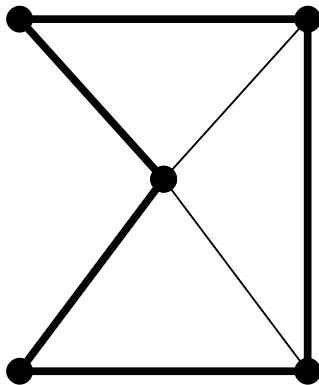
**Algorytm Fleury'ego** (znajdujący cykl Eulera)

- rozpocznij wędrówkę w dowolnym wierzchołku
- usuwaj strawersowane krawędzie, przechodząc po moście jedynie w ostateczności (sytuacja, w której są do wyboru co najmniej dwa mosty oznacza, że graf nie jest eulerowski).

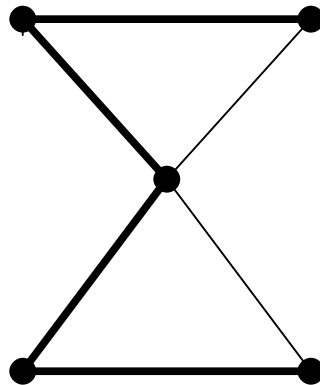
# Grafy hamiltonowskie

**Def.** *Cykl (droga) Hamiltona* jest to cykl (droga), w którym każdy wierzchołek grafu występuje dokładnie raz. Graf jest *hamiltonowski* (*półhamiltonowski*), o ile posiada cykl (drogę) Hamiltona.

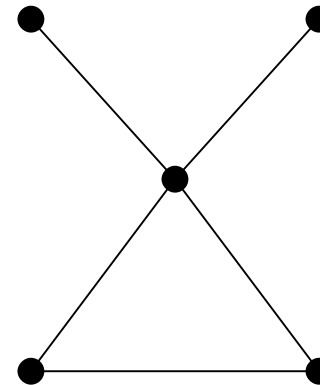
## Przykład



Graf hamiltonowski



Graf półhamiltonowski

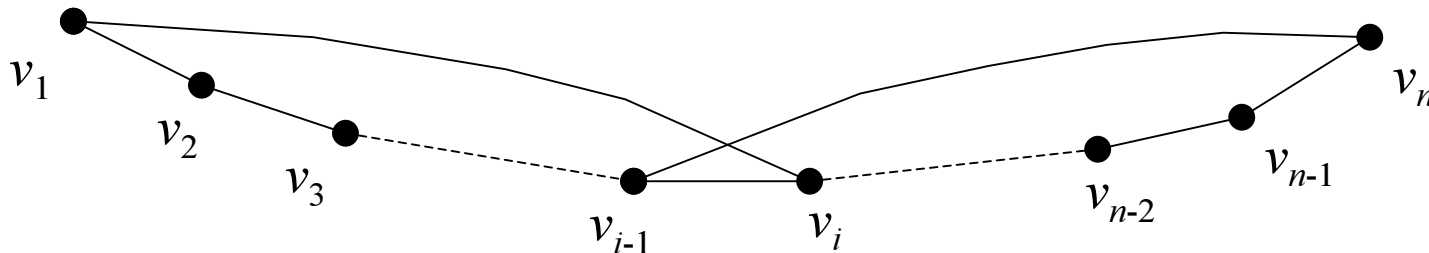


Graf nie jest ani hamiltonowski  
ani półhamiltonowski

# Grafy hamiltonowskie

**Tw. (Ore, 1960)** *Jeśli  $G$  jest grafem prostym o  $n \geq 3$  wierzchołkach i  $\deg(u) + \deg(v) \geq n$  dla każdej pary niesąsiednich wierzchołków  $u$  i  $v$ , to graf  $G$  jest hamiltonowski.*

**Dowód:** Załóżmy, że istnieje graf  $G$  o podanych założeniach ale nie jest hamiltonowski. Możemy założyć, że  $G$  posiada drogę Hamiltona  $v_1 \rightarrow v_2 \rightarrow \dots \rightarrow v_n$  oraz  $\{v_1, v_n\} \notin E(G)$ . Stąd wynika, że  $\deg(v_1) + \deg(v_n) \geq n$  a to oznacza, że istnieje indeks  $i$  taki, że  $\{v_1, v_i\} \in E(G)$  oraz  $\{v_{i-1}, v_n\} \in E(G)$ , co pokazano na rysunku. To prowadzi do sprzeczności, gdyż  $v_1 \rightarrow v_2 \rightarrow \dots \rightarrow v_{i-1} \rightarrow v_n \rightarrow v_{n-1} \rightarrow \dots \rightarrow v_i \rightarrow v_1$  jest cyklem Hamiltona.





# Grafy hamiltonowskie

**Wniosek (Dirac, 1952)** *Jeśli  $G$  jest grafem prostym o  $n \geq 3$  wierzchołkach i  $\deg(u) \geq n/2$  dla każdego wierzchołka  $v$ , to  $G$  jest hamiltonowski.*

**Dowód:** Wynika z poprzedniego twierdzenia, gdyż  $\deg(u) + \deg(v) \geq n$  dla każdej pary (również niesąsiednich) wierzchołków.

**Uwaga** Problem polegający na stwierdzeniu czy dany graf  $G$  jest hamiltonowski jest NP-zupełny. Oznacza to, że nie są znane efektywne (działające w czasie wielomianowym) algorytmy rozwiązujące ten problem. Nie jest również znane twierdzenie podające warunki konieczne i dostateczne na to, aby  $G$  był hamiltonowski.

# Problem chińskiego listonosza

Dana jest sieć ulic oraz poczta. Aby listonosz dostarczył korespondencję musi przejść wzdłuż każdej ulicy co najmniej raz i powrócić do punktu wyjścia. Formułując problem w języku grafów, pytamy o najkrótszą zamkniętą marszrutę w grafie  $G$  utworzonym na podstawie sieci ulic, w którym wagi krawędzi odpowiadają długościom ulic.

Znany jest efektywny algorytm rozwiązujący ten problem, lecz my rozważymy dwa przypadki:

*Przypadek 1:* graf  $G$  jest eulerowski. Wówczas każdy cykl Eulera jest optymalnym rozwiązaniem, które można znaleźć korzystając np. z algorytmu Fleury'ego.

# Problem chińskiego listonosza

*Przypadek 2:* graf  $G$  jest póleulerowski. Znajdujemy ścieżkę Eulera łączącą dwa wierzchołki nieparzystego stopnia  $u$  i  $v$ . Następnie szukamy najkrótszej drogi z  $u$  do  $v$ . Łącząc obie drogi otrzymujemy rozwiązanie.

## Przykład

1) Droga Eulera:

$b \rightarrow a \rightarrow f \rightarrow b \rightarrow c \rightarrow$

$d \rightarrow e \rightarrow c \rightarrow f \rightarrow e$

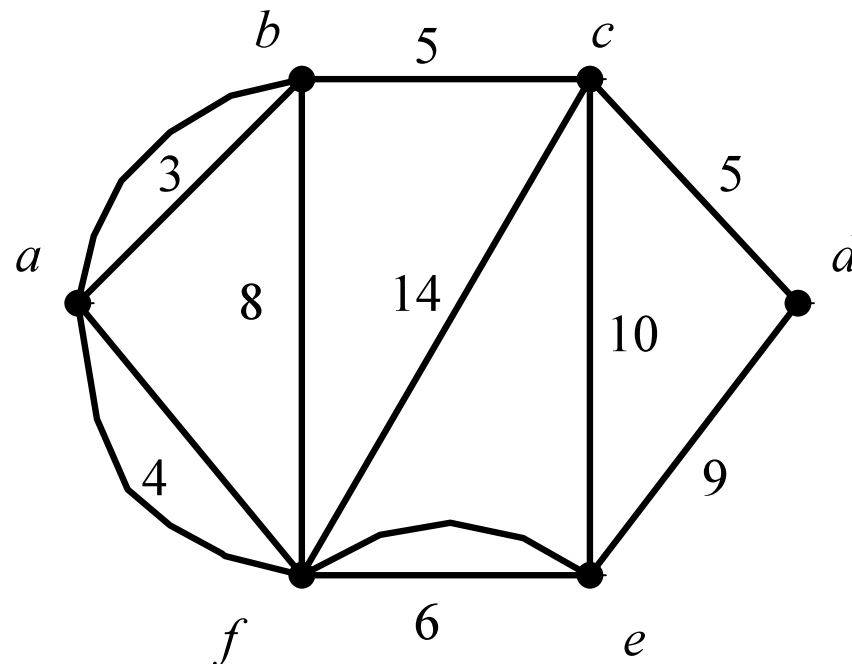
2) Najkrótsza droga z  $e$  do  $b$

$e \rightarrow f \rightarrow a \rightarrow b$

3) „Trasa listonosza”:

$b \rightarrow a \rightarrow f \rightarrow b \rightarrow c \rightarrow$

$d \rightarrow e \rightarrow c \rightarrow f \rightarrow e \rightarrow f \rightarrow a \rightarrow b$

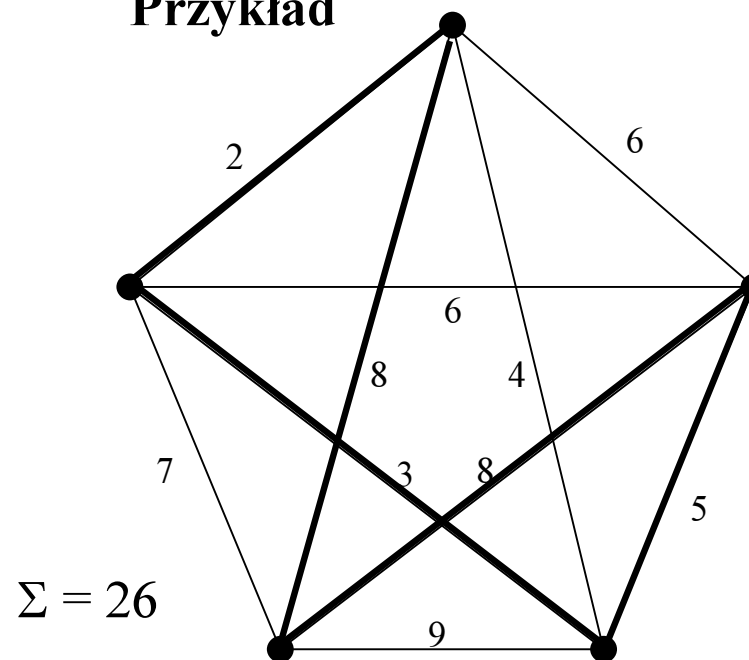


# Problem komiwojażera

Dany jest zbiór miast. Komiwojażer chce odwiedzić wszystkie miasta (każde dokładnie raz) i powrócić do punktu wyjścia. Problem polega na znalezieniu najkrótszej trasy o tej własności.

Zdefiniujemy powyższy problem w języku teorii grafów. Niech będzie dany graf pełny  $G$ . Zakładamy, że z każdą krawędzią  $e_i$  jest skojarzona jej waga (długość) oznaczana dalej przez  $w_i$ . Rozwiązaniem problemu komiwojażera jest taki cykl Hamiltona, którego suma wag krawędzi jest minimalna.

## Przykład



# Problem komiwojażera

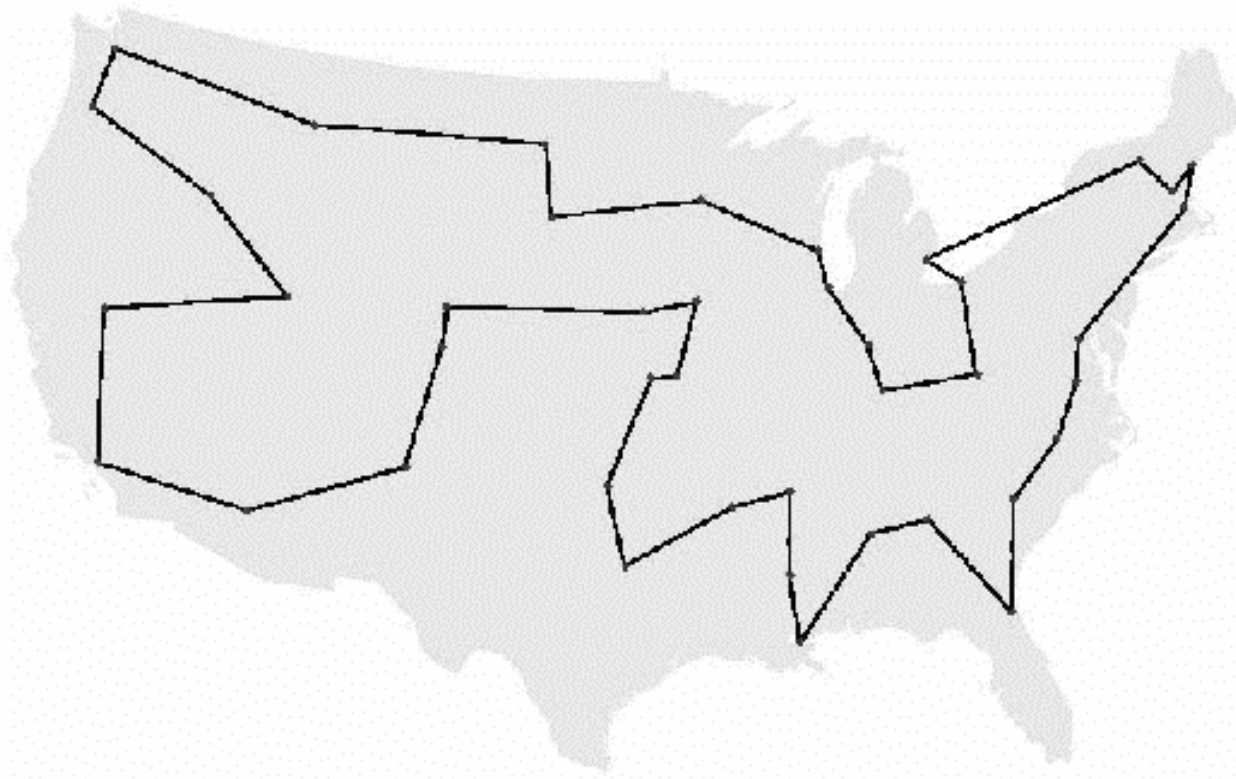
## Uwagi

- problem komiwojażera jest NP-trudny, co oznacza, że nie są znane algorytmy o wielomianowej złożoności obliczeniowej rozwiązujące ten problem (przypuszczalnie takie nie istnieją)
- w praktyce jesteśmy zmuszeni posługiwać się wielomianowymi algorytmami przybliżonymi, tzn. takimi, które szybko znajdują rozwiązanie, które jest w przybliżeniu równe optymalnemu

**Przykład** Jednym z możliwych algorytmów dokładnych jest sprawdzenie wszystkich możliwych cykli Hamiltona i wybranie najkrótszego. Wadą takiego podejścia jest to, że liczba cykli jest zbyt duża, gdyż dla  $n$ -wierzchołkowego grafu wynosi  $(n!)/2$ . Stąd, jeśli dysponujemy komputerem sprawdzającym milion permutacji na sekundę, to:

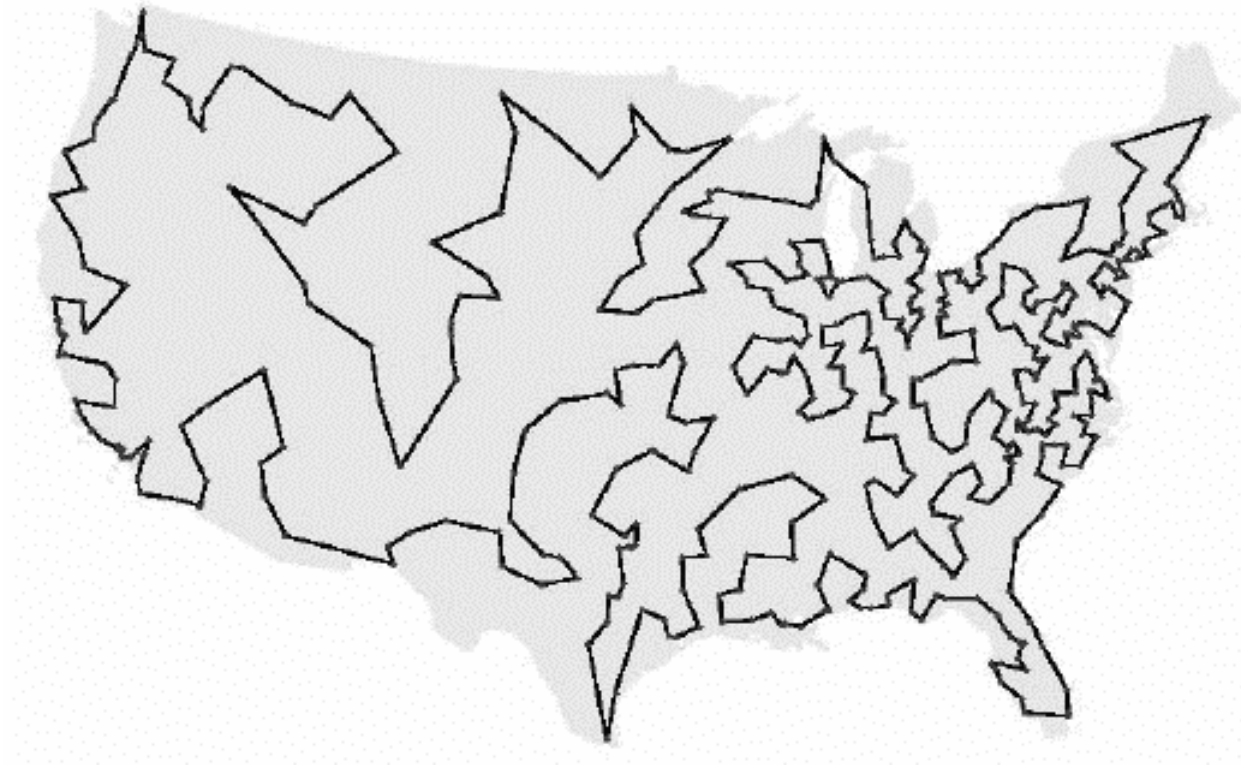
- $n = 10 \Rightarrow$  ilość cykli  $= (10!)/2 = 1814400 \Rightarrow$  czas obliczeń  $= 1.8$  s
- $n = 20 \Rightarrow$  ilość cykli  $= (20!)/2 \approx 10^{18} \Rightarrow$  czas obliczeń  $\approx 40$  tys. lat

# Historia problemu komiwojażera



George Dantzig, Ray Fulkerson i Selmer Johnson (1954) zaprezentowali optymalne rozwiązanie problemu komiwojażera dla 49 amerykańskich miast.

# Historia problemu komiwojażera



Padberg i Rinaldi (1987) obliczyli optymalne rozwiązanie dla 532 punktów

# Historia problemu komiwojażera



Rozwiązanie obejmujące 13549 miast amerykańskich, uzyskane w 1998 roku.



# Algorytm *DFS*

**Procedure** *DFS*( *G*, *v* )

**begin**

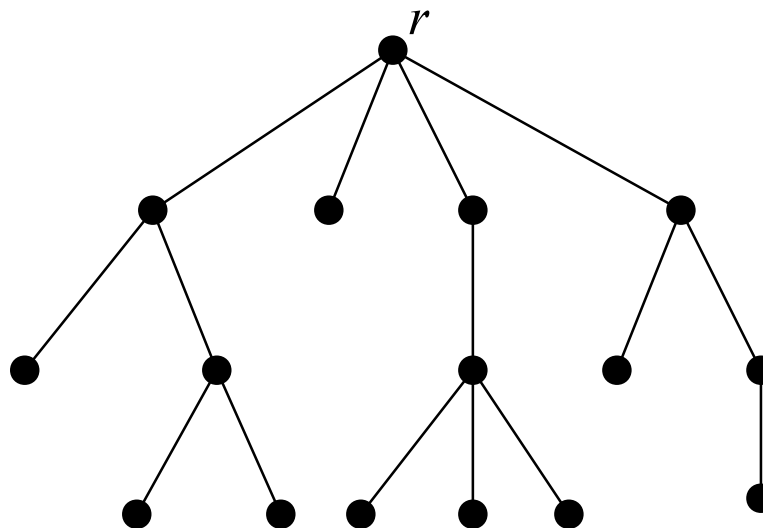
odwiedź wierzchołek *v*;

**for** każdy nieodwiedzony sąsiad *u* wierzchołka *v* **do**

*DFS*(*G*,*u*);

**end**

**Przykład** Działanie  
procedury w przypadku  
drzewa (wywołanie  
*DFS*(*T*,*r* )



# Algorytm 2-przybliżony

**Procedure**  $A( G )$

**begin**

znajdź minimalne drzewo spinające  $T$  grafu  $G$ ;

$DFS(T, v)$ , gdzie  $v$  jest dowolnym wierzchołkiem drzewa  $T$ ;

jeśli  $v_1, \dots, v_n$  są kolejnymi odwiedzionymi wierzchołkami, to utwórz cykl

Hamiltona następująco:  $v_1 \rightarrow v_2 \rightarrow \dots \rightarrow v_{n-1} \rightarrow v_n \rightarrow v_1$ .

**return**  $C$ ;

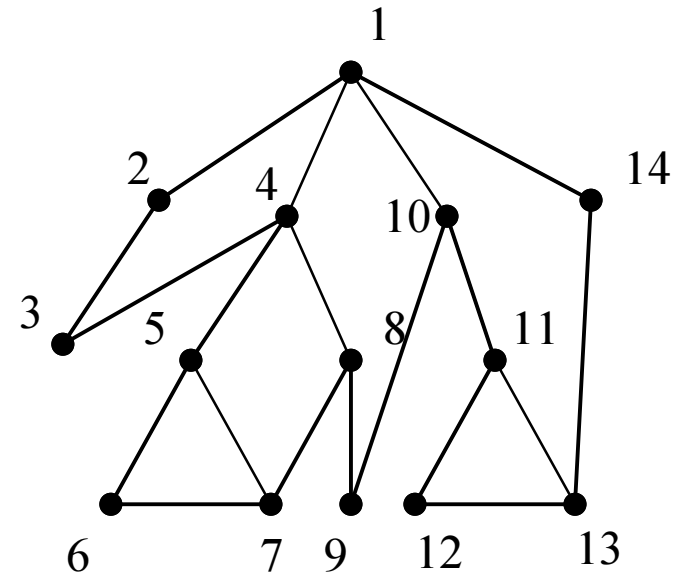
**end**

## Przykład

1) Załóżmy, że znaleziono następujące drzewo spinające pewnego grafu pełnego  $G$

2) kolejność odwiedzania wierzchołków przez  $DFS$

3) wyznaczamy cykl Hamiltona



# Algorytm 2-przybliżony

Oznaczenia:  $W(H) = \sum_{e \in E(H)} w(e)$ , gdzie  $H$  jest podgrafem  $G$ .  
 $C_o$  – najkrótszy cykl Hamiltona w grafie  $G$ .  
 $T_o$  – najlżejsze drzewo spinające grafu  $G$ .

**Tw.** Dla algorytmu  $A$  zachodzi  $W(A(C))/W(C_o) < 2$ .

**Dowód:** Mamy oszacowanie:  $W(T_o) < W(C_o)$ .

Z nierówności trójkąta wynika, że  $W(A(C)) \leq 2W(T_o)$ .

Stąd

$$\frac{W(A(C))}{W(C_o)} \leq \frac{2W(T_o)}{W(C_o)} < \frac{2W(C_o)}{W(C_o)} = 2$$

# Algorytm Christofidesa

Jest to przykład suboptymalnego algorytmu dla problemu komiwojażera.

- jak poprzednio,  $G$  jest grafem pełnym z obciążonymi krawędziami
- czas działania algorytmu to  $O(n^3)$
- długość znalezionej cyklu (suma wag jego krawędzi) jest co najwyżej 1.5 razy dłuższa od długości najkrótszego cyklu

**Procedure** Christofides(  $G$  )

**begin**

znajdź minimalne drzewo spinające  $T_o$  grafu  $G$ ;

znajdź zbiór  $V^{odd}$  węzłów nieparzystego stopnia w drzewie  $T_o$ ;

znajdź w  $V^{odd}$  minimalne skojarzenia dokładne  $M_o^{odd}$ ;

znajdź cykl Eulera w podgrafie indukowanym przez  $T_o + M_o^{odd}$ ;

przekształć cykl Eulera w cykl Hamiltona  $C_{ch}$  w grafie pełnym;

**end**

# Oszacowanie dolne

Poniżej podamy pewne oszacowania dotyczące długości optymalnej trasy komiwojażera, które będą potrzebne podczas analizy algorytmu.

Oznaczenia:  $C_o$  – najkrótszy cykl Hamiltona w obciążonym grafie  $G$   
 $T_o$  – minimalne drzewo spinające grafu  $G$   
 $W(H) = \sum_{e \in E(H)} w(e)$ , gdzie  $H$  jest podgrafem  $G$ .

**Lemat**  $W(T_o) < W(C_o)$

**Dowód:** Niech  $e$  będzie dowolną krawędzią cyklu  $C_o$ . Podgraf  $C_o - e$  jest ścieżką oraz jest również pewnym drzewem spinającym grafu  $G$ . Stąd otrzymujemy :

$$W(C_o) > W(C_o - e) \geq W(T_o).$$

# Oszacowanie dolne

Oznaczenia:  $C_o$  – najkrótszy cykl Hamiltona w obciążonym grafie  $G$   
 $M_o$  – minimalne skojarzenia dokładne grafu  $G$   
 $W(H) = \sum_{e \in E(H)} w(e)$ , gdzie  $H$  jest podgrafem  $G$ .

**Lemat**  $W(M_o) \leq W(C_o)/2$

**Dowód:** Niech  $M_1$  oraz  $M_2$  będą podzbiorami krawędzi cyklu  $C_o$  trawersowanymi w odpowiednio parzystych i nieparzystych krokach. Bez utraty ogólności możemy założyć, że  $W(M_1) \leq W(M_2)$ . Z równości

$$W(M_1) + W(M_2) = W(C_o)$$

$$2W(M_1) \leq W(M_1) + W(M_2)$$

wynika, że

$$W(M_1) \leq W(C_o)/2.$$

Po uwzględnieniu, że  $W(M_o) \leq W(M_1)$  otrzymujemy tezę.

# Algorytm Christofidesa

Oznaczenia:  $T_o$  – najłżejsze drzewo spinające grafu  $G$   
 $V_o^{odd}$  – wierzchołki o nieparzystym stopniu w  $T$   
 $M_o^{odd}$  – minimalne skojarzenia dokładne w  $V_o^{odd}$   
 $C_o^{odd}$  – najkrótszy cykl Hamiltona w grafie induk. przez  $V_o^{odd}$   
 $C_o$  – najkrótszy cykl Hamiltona w obciążonym grafie  $G$   
 $C_{ch}$  – cykl znaleziony przez alg. Christofidesa  
 $C_E$  – cykl Eulera w grafie  $(V(G), E(T_o) \cup E(M_o^{odd}))$

**Lemat** *Jeśli  $G$  spełnia nierówność trójkąta, to  $W(C_{ch}) \leq 3W(C_o)/2$*

**Dowód:** W poprzednich lematkach wykazaliśmy, że

$$W(T_o) < W(C_o) \text{ oraz } W(M_o^{odd}) \leq W(C_o^{odd})/2.$$

Z nierówności  $W(C_o^{odd}) \leq W(C_o)$  wynika, że  $W(M_o^{odd}) \leq W(C_o)/2$ .

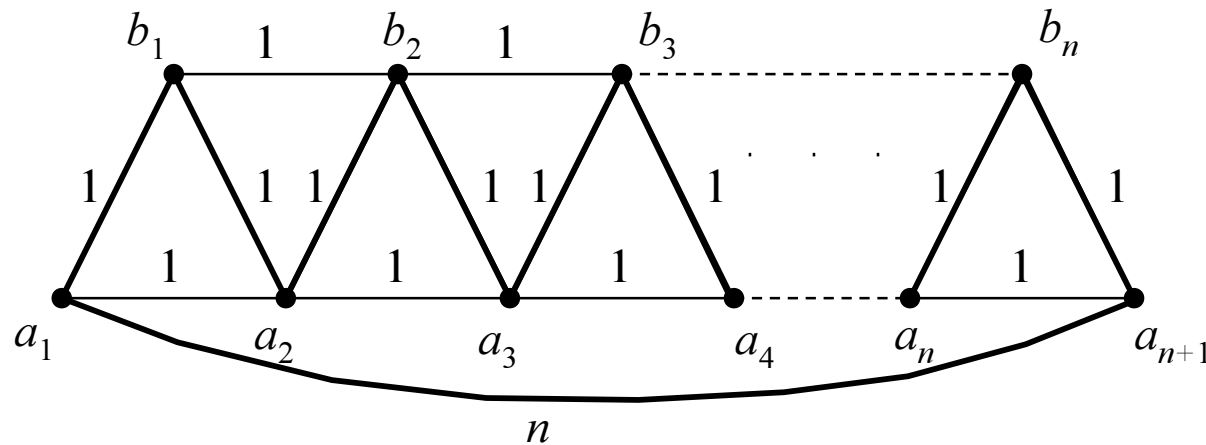
Z faktu, że  $G$  spełnia nierówność trójkąta wynika, że  $W(C_{ch}) \leq W(C_E)$ .

Łącząc powyższe nierówności otrzymujemy:

$$W(C_{ch}) \leq W(C_E) = W(T_o) + W(M_o^{odd}) < W(C_o) + W(C_o)/2 = 3W(C_o)/2.$$

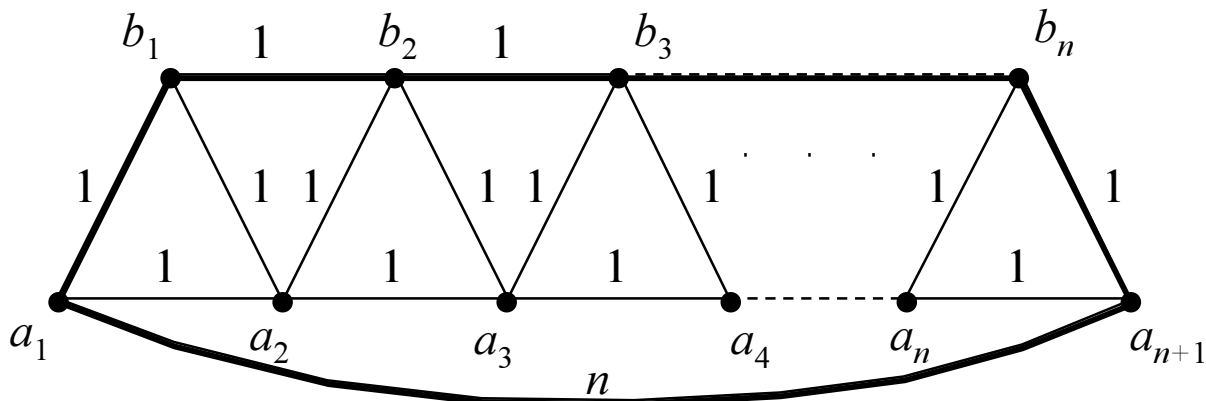
# Algorytm Christofidesa

**Uwaga** Istnieją grafy, dla których współczynnik  $W(C_{ch})/(3W(C_o))$  może przyjmować wartość dowolnie bliską  $3/2$ .



1) minimalne drzewo spinające

2)  $W(C_{ch}) = 3n$



3) rozwiązanie optymalne  $3W(C_o) = 2n + 1$

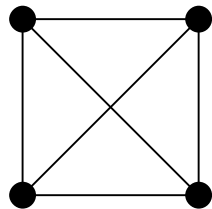


# Planarność

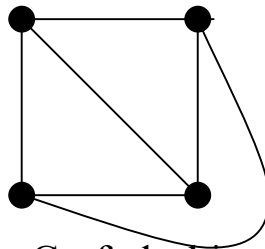
**Def.** *Graf płaski* – dowolny graf narysowany na płaszczyźnie w taki sposób, że jego krawędzie się nie przecinają.

**Def.** *Graf planarny* – graf izomorficzny z pewnym grafem płaskim.

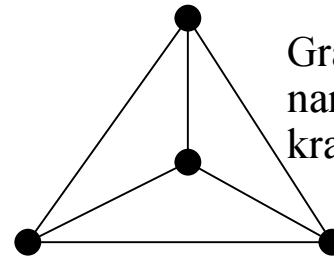
**Przykład** Graf  $K_4$  jest planarny.



Graf  $K_4$



Graf płaski  
izomorficzny z  $K_4$



Graf płaski izomorficzny z  $K_4$   
narysowany tak, aby wszystkie  
krawędzie były odcinkami

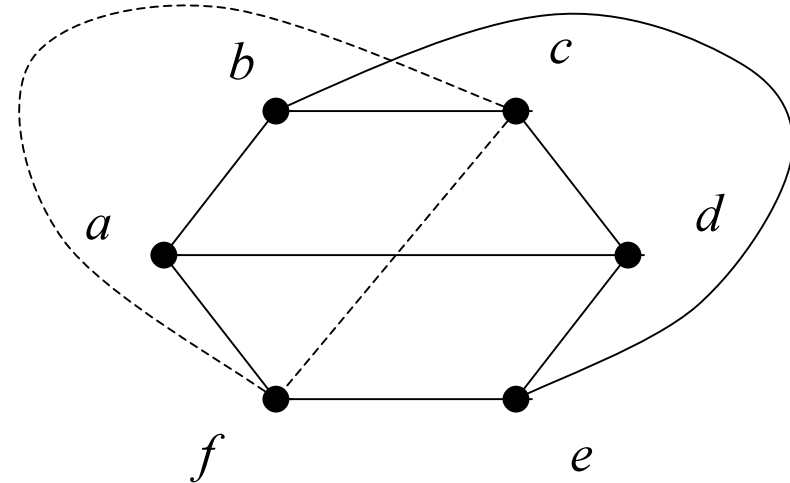
**Tw.** *Każdy planarny graf prosty można narysować za pomocą odcinków.*

# Planarność

**Tw.** Graf  $K_{3,3}$  jest nieplanarny.

**Dowód:**

- 1)  $K_{3,3}$  zawiera cykl  $C_6$
- 2)  $\{a,d\} \in E(K_{3,3})$  (przypadek, gdy krawędź jest na zewnątrz cyklu jest analogiczny)
- 3)  $\{b,e\} \in E(K_{3,3})$
- 4)  $\{c,f\} \in E(K_{3,3})$  – każde narysowanie tej krawędzi prowadzi do przecięcia (z krawędzią  $\{a,d\}$  lub  $\{b,e\}$ )

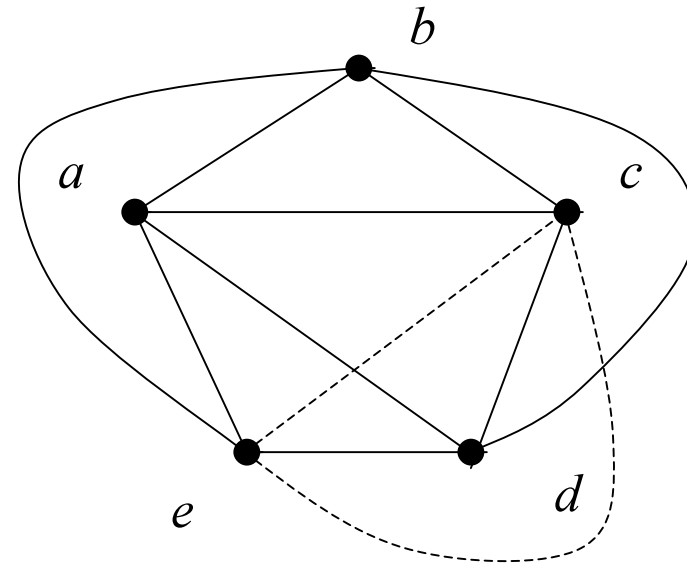


# Planarność

**Tw.** *Graf  $K_5$  jest nieplanarny.*

## Dowód:

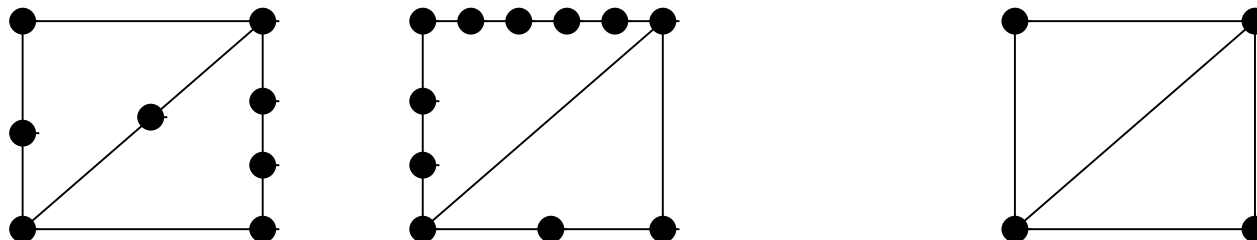
- 1)  $K_5$  zawiera cykl  $C_5$
- 2)  $\{a, c\} \in E(K_5)$  (przypadek, gdy krawędź jest na zewnątrz cyklu jest analogiczny)
- 3)  $\{b, e\}, \{b, d\} \in E(K_5)$  i leżą w całości na zewnątrz cyklu  $C_5$
- 4)  $\{a, d\} \in E(K_5)$  – krawędź znajduje się w całości wewnątrz cyklu
- 5)  $\{c, e\} \in E(K_5)$  – każde narysowanie tej krawędzi prowadzi do przecięcia – z krawędzią  $\{a, d\}$  lub  $\{b, d\}$



# Planarność

**Def.** Dwa grafy nazywamy *homeomorficznymi*, jeśli można je otrzymać z tego samego grafu poprzez zastępowanie jego krawędzi ścieżkami.

**Przykład** Podane dwa grafy są homeomorficzne (otrzymano je z grafu po prawej stronie):

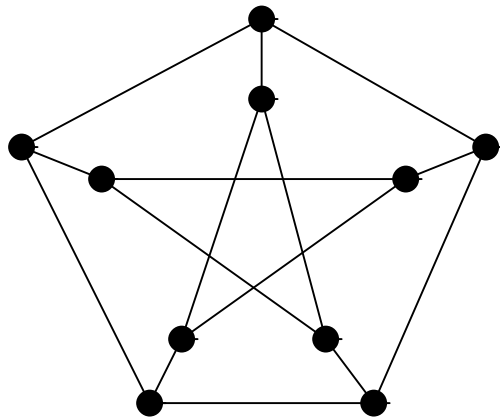


**Tw. (Kuratowski, 1930)** *Dany graf jest planarny wtedy i tylko wtedy, gdy nie zawiera podgrafu homeomorficznego z grafem  $K_5$  lub z grafem  $K_{3,3}$ .*

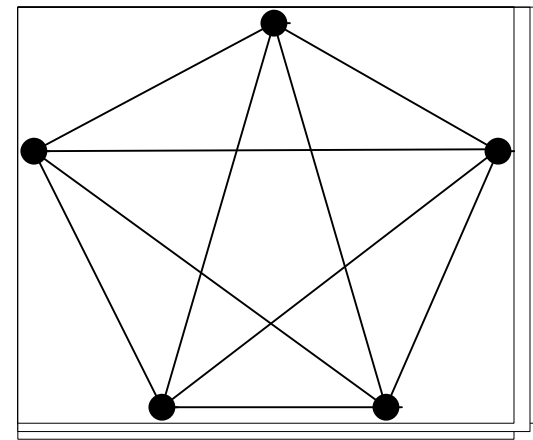
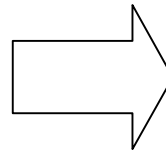
# Planarność

**Def.** Graf  $G$  jest *ściągalny* do grafu  $H$ , gdy  $H$  można otrzymać ściągać kolejno krawędzie grafu  $G$  (ściągnięcie krawędzi  $\{u,v\}$  polega na usunięciu jej z grafu i zastąpieniu wierzchołków  $u$  i  $v$  nowym wierzchołkiem o zbiorze sąsiadów  $\{w \in V(G) : \{w,u\} \in E(G) \text{ lub } \{w,v\} \in E(G)\}$  ).

**Przykład** Graf Petersena jest ściągalny do  $K_5$ .



Graf Petersena



Graf  $K_5$

# Umieszczanie grafów

**Def.** *Umieszczanie grafu* to takie przedstawienie grafu w przestrzeni, że wierzchołkom odpowiadają punkty, a krawędziom linie, które się nie przecinają.

**Tw.** *Każdy graf może zostać umieszczony w 3-wymiarowej przestrzeni euklidesowej.*

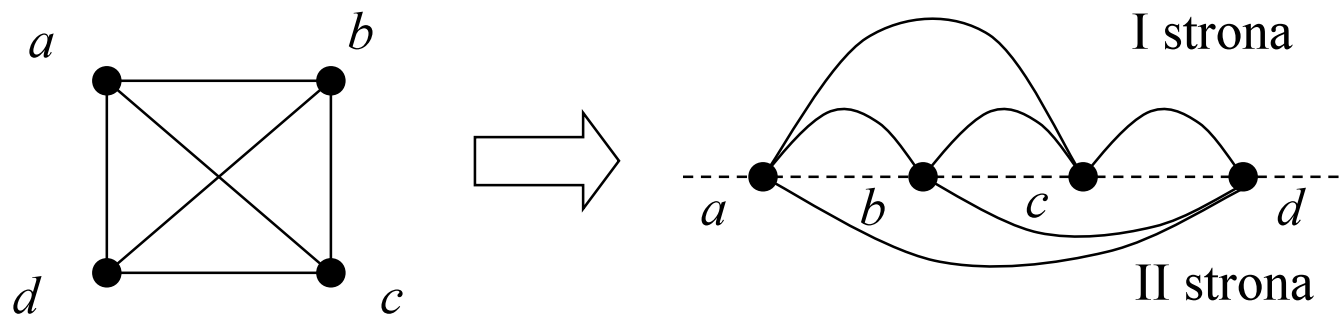
**Tw.** *Graf jest planarny wtedy i tylko wtedy, gdy może być umieszczony na powierzchni kuli.*

**Umieszczanie grafów w książkach:** Jest to funkcja odwzorowująca zbiór wierzchołków w zbiór punktów leżących na jednej prostej (grzbiecie) oraz zbiór krawędzi w zbiór płaszczyzn zawierających powyższą prostą (strony).

**Def.** *Grubość książkowa*  $\beta(G)$  grafu  $G$  jest to najmniejsza liczba stron, na której można umieścić graf.

# Parametry planarności grafu

**Przykład** Umieszczenie grafu  $K_4$  w książce o 2 stronach.



**Tw.** Grubości książkowe cykli, hiperkostek i grafów pełnych dane są wzorami:

$$\beta(C_n) = 1,$$

$$\beta(Q_n) = n - 1,$$

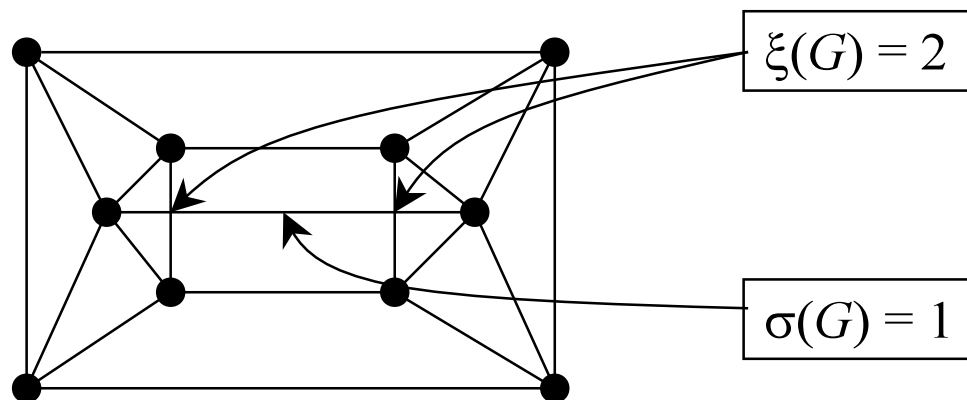
$$\beta(K_n) = \left\lfloor \frac{n}{2} \right\rfloor,$$

# Parametry planarności grafu

**Def.** Liczba przecięć  $\xi(G)$  grafu  $G$  jest najmniejszą liczbą przecięć, która musi wystąpić przy narysowaniu grafu na płaszczyźnie (zakładamy, że w jednym punkcie przecinają się co najwyżej dwie krawędzie).

**Def.** Stopień nieplanarności  $\sigma(G)$  to minimalna liczba krawędzi, których usunięcie prowadzi do uzyskania grafu planarnego.

**Przykład**





# Parametry planarności grafu

**Tw.** Dla dowolnego grafu  $G$   $\sigma(G) \leq \xi(G)$ .

**Tw.** Oszacowania i wartości dokładne parametru  $\xi(G)$  dla cykli, hiperkostek, grafów pełnych i pełnych dwudzielnych:

$$\xi(C_n) = 0,$$

$$\xi(Q_n) = \frac{1}{6} 2^{2n},$$

$$\frac{2}{7} \binom{n}{4} \leq \xi(K_n) \leq \frac{1}{4} \left\lfloor \frac{n}{2} \right\rfloor \left\lfloor \frac{n-1}{2} \right\rfloor \left\lfloor \frac{n-2}{2} \right\rfloor \left\lfloor \frac{n-3}{2} \right\rfloor,$$

$$\xi(K_{p,q}) \leq \left\lfloor \frac{p}{2} \right\rfloor \left\lfloor \frac{p-1}{2} \right\rfloor \left\lfloor \frac{q}{2} \right\rfloor \left\lfloor \frac{q-1}{2} \right\rfloor.$$

# Parametry planarności grafu

**Tw.** *Dla dowolnego grafu  $G$  i jego podgrafu  $H$  zachodzi*

$$\sigma(H) \leq \sigma(G) \quad \text{oraz} \quad \xi(H) \leq \xi(G).$$

**Tw.** *Wartości dokładne parametru  $\sigma(G)$  dla cykli, hiperkostek, grafów pełnych i pełnych dwudzielnych:*

$$\sigma(C_n) = 0,$$

$$\sigma(Q_n) = 2^2(n-2) - n2^{n-1} + 4,$$

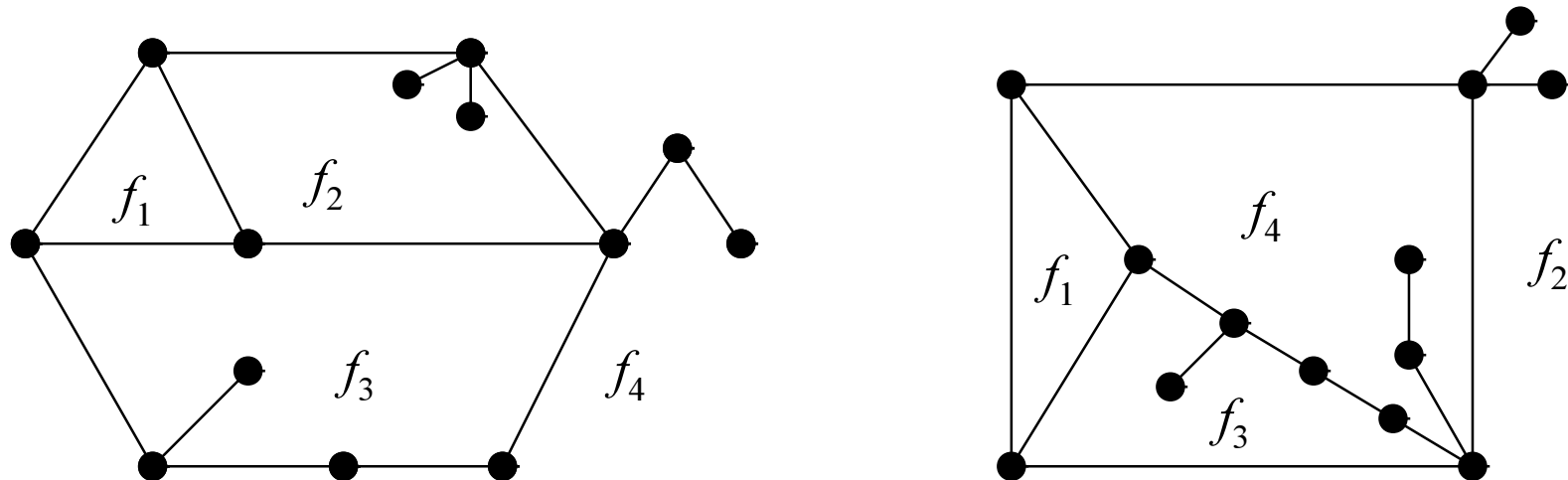
$$\sigma(K_n) = \frac{(n-3)(n-4)}{2},$$

$$\sigma(K_{p,q}) = pq - 2(p+q) + 4.$$

# Ściany w grafach

**Def.** *Ściana* w grafie płaskim zawierająca punkt  $x$  jest to zbiór wszystkich punktów  $y$  takich, że  $x$  i  $y$  można połączyć krzywą, która nie przecina żadnej krawędzi grafu. Ściana, która jest nieograniczona nazywana jest *ścianą nieskończoną*.

**Przykład** Poniższy graf zawiera cztery ściany –  $f_1$ ,  $f_2$ ,  $f_3$  i  $f_4$  (nieskończona). Narysujemy ten graf tak, aby  $f_2$  była ścianą nieskończoną.



# Ściany w grafach

**Tw. (Euler, 1750)** *Jeśli  $G$  jest spójnym grafem płaskim o  $n$  wierzchołkach,  $m$  krawędziach i  $f$  ścianach, to  $n - m + f = 2$ .*

**Dowód:** Przeprowadzimy indukcję względem  $m$ .

Jeśli  $m = 0$ , to  $n = 1$  oraz  $f = 1$ , więc twierdzenie zachodzi.

Założmy, że twierdzenie jest prawdziwe dla wszystkich grafów o co najwyżej  $m - 1$  krawędziach.

Rozważmy  $m$ -krawędziowy graf  $G$ .

Jeśli ten graf jest drzewem, to  $m = n - 1$  oraz  $f = 1$ , stąd tw. zachodzi.

Jeśli  $G$  zawiera cykl, to usuńmy pewną krawędź  $e$ , należącą do cyklu. Graf  $G - e$  posiada  $m - 1$  krawędzi i  $f - 1$  ścian, więc korzystając z założenia indukcyjnego otrzymujemy:

$$n - (m - 1) + (f - 1) = 2,$$

co oznacza, że

$$n - m + f = 2.$$

# Lemat o pocałunkach

**Tw.** *Dla każdego spójnego, prostego i płaskiego grafu  $G$  o  $n \geq 3$  wierzchołkach zachodzi:  $2m \geq 3f$ .*

**Dowód:** Aby wykazać nierówność rozważmy dwa przypadki:

1)  $G$  jest drzewem. Prawdą jest, że  $m \geq 2$ , co oznacza, że:

$$2m \geq 4 > 3 = 3f.$$

2)  $G$  zawiera cykl. Usuwamy sukcesywnie wierzchołki stopnia 1, otrzymując *rdzeń*  $R(G)$  grafu. Liczbę wierzchołków i krawędzi rdzenia oznaczmy odpowiednio przez  $n'$  i  $m'$ . Każda ściana rdzenia jest otoczona przez co najmniej 3 krawędzie (wynika to z założenia, że graf  $G$  jest prosty) oraz liczba ścian w  $G$  i w  $R(G)$  są sobie równe. Zatem

$$2m' \geq 3f.$$

Z nierówności  $m \geq m'$  otrzymujemy tezę.

# Własności grafów planarnych

**Tw.** *Jeśli  $G$  jest prostym, planarnym grafem spójnym o  $n \geq 3$  wierzchołkach, to  $m \leq 3n - 6$ .*

**Dowód:**

- Możemy założyć, że  $G$  jest grafem płaskim.
- Z lematu o pocałunkach mamy:  $2m \geq 3f$ .
- Ze wzoru Eulera:  $n - m + f = 2$ .
- Mnożymy ostatnią równość stronami przez 3 i przekształcamy:

$$3n - 3m + 3f = 6$$

$$3f = 6 - 3n + 3m$$

$$2m \geq 6 - 3n + 3m$$

$$m \leq 3n - 6.$$

**Wniosek** *Graf  $K_5$  jest nieplanarny.*

**Dowód:** Wynika z powyższego twierdzenia, gdyż  
gdyż  $m(K_5) = 10$  oraz  $3n(K_5) - 6 = 9$ .

# Własności grafów planarnych

**Tw.** *Jeśli  $G$  jest prostym, planarnym grafem spójnym o  $n \geq 3$  wierzchołkach, nie zawierającym trójkątów, to  $m \leq 2n - 4$ .*

**Dowód:**

- Lemat o pocałunkach dla grafu bez trójkątów brzmi:  $2m \geq 4f$ , co zapisujemy jako  $f \leq m/2$ .
- Ze wzoru Eulera:  $n - m + f = 2$ .
- Łącząc dwa powyższe fakty otrzymujemy:

$$f = 2 - n + m$$

$$2 - n + m \leq m/2$$

$$m \leq 2n - 4.$$

**Wniosek** *Graf  $K_{3,3}$  jest nieplanarny.*

**Dowód:** Wynika z powyższego twierdzenia, gdyż

$$m(K_{3,3}) = 9 \text{ oraz } 2n(K_{3,3}) - 4 = 8.$$

# Własności grafów planarnych

**Def.** *Pąkiem* nazywamy wierzchołek grafu, którego stopień wynosi co najwyżej 5.

**Tw.** *Każdy planarny, prosty graf  $G$  zawiera co najmniej 3 pąki.*

**Dowód:**

- przypuśćmy, że  $G$  zawiera co najwyżej dwa pąki  $v_1$  i  $v_2$
- mamy: 
$$2 + 6(n - 2) \leq \deg(v_1) + \deg(v_2) + 6(n - 2)$$
- z założenia, że wszystkie wierzchołki oprócz  $v_1$  i  $v_2$  mają stopnie co najmniej 6 wynika: 
$$\deg(v_1) + \deg(v_2) + 6(n - 2) \leq 2m$$
- udowodniliśmy wcześniej, że  $m \leq 3n - 6$ , co zapisujemy w postaci  $2m \leq 6n - 12$ .
- Łącząc powyższe nierówności:

$$2 + 6n - 12 \leq 6n - 12, \text{ co prowadzi do sprzeczności.}$$



# Grubość grafu

**Def.** *Grubość*  $\tau(G)$  grafu to najmniejsza liczba grafów planarnych, które można złożyć, aby otrzymać graf  $G$ . Przez złożenie grafów  $G_1$  i  $G_2$ , o tych samych zbiorach wierzchołków, rozumiemy taki graf  $G$ , że  $V(G) = V(G_1)$  oraz  $E(G) = \{e : e \in E(G_1) \text{ lub } e \in E(G_2)\}$ .

**Tw.** *Niech będzie dany graf  $G$  o  $n \geq 3$  wierzchołkach. Wtedy*

$$\tau(G) \geq \left\lceil \frac{m}{3n-6} \right\rceil, \tau(G) \geq \left\lfloor \frac{m+3n-7}{3n-6} \right\rfloor.$$

**Dowód:**

- Pierwsza nierówność wynika z udowodnionego wcześniej faktu dla grafów planarnych:  $m \leq 3n - 6$ . Parametr  $\tau(G)$  jest liczbą całkowitą, więc bierzemy „sufit” z otrzymanego wyrażenia.
- Drugą równość otrzymujemy z pierwszej poprzez zastosowanie wzoru  $\lfloor a/b \rfloor = \lceil (a+b-1)/b \rceil$ .

# Grubość grafu

**Tw.** Dla grafów pełnych oraz hiperkostek zachodzą wzory:

$$\tau(K_n) = \begin{cases} \left\lfloor \frac{n+7}{6} \right\rfloor & n \neq 9,10 \\ 3 & n = 9,10 \end{cases}, \quad \tau(Q_n) = \left\lceil \frac{n+1}{4} \right\rceil$$

**Uwaga** Graf  $G$  jest planarny wtedy i tylko wtedy, gdy  $\tau(G) = 1$ .  
Oznacza to, że  $\tau(K_5), \tau(K_{3,3}) > 1$ .

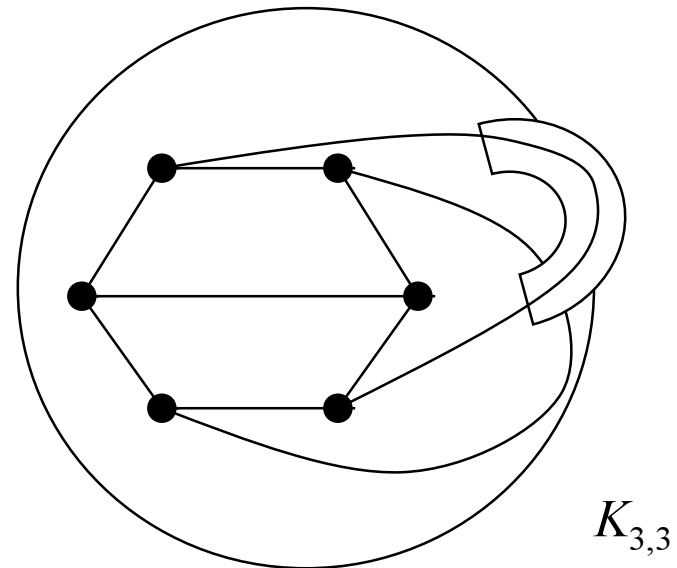
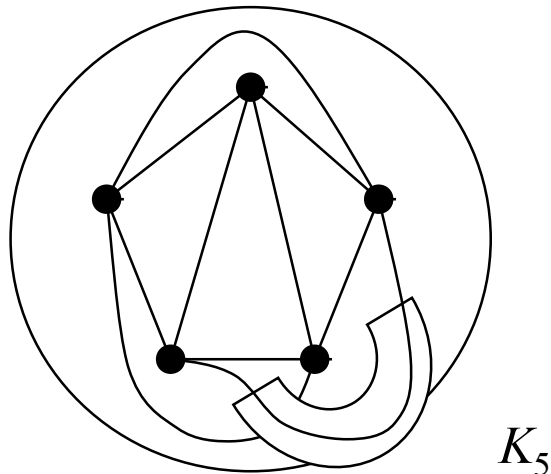
**Tw.** *Pomiędzy grubością grafu a stopniem nieplanarności i grubością książkową zachodzą nierówności:*

$$\begin{aligned} \tau(G) - 1 &\leq \sigma(G), \\ \tau(G) &\leq \lceil \beta(G)/2 \rceil. \end{aligned}$$

# Genus grafu

**Def.** Mówimy, że powierzchnia jest *rodzaju* (genusu)  $g$ , jeśli jest ona „równoważna” kuli o  $g$  rączkach. Graf jest *rodzaju* (genusu)  $g$ , jeśli może być narysowany bez przecięć na powierzchni rodzaju  $g$  i jednocześnie nie można go narysować bez przecięć na powierzchni rodzaju  $g - 1$ .

**Przykład** Grafy  $K_5$  i  $K_{3,3}$  są grafami rodzaju 1.



# Genus grafu

**Tw.** Dla każdego grafu  $G$  zachodzi  $g \leq \sigma(G)$ , gdzie  $\sigma(G)$  – stopień nieplanarności grafu.

**Dowód:** Niech  $S \subset E$  będzie zbiorem minimalnej mocy takim, że  $G - S$  jest planarny. Oczywiście  $|S| = \sigma(G)$ . Jeśli graf  $G - S$  narysujemy bez przecięć na sferze oraz dla każdej krawędzi z  $S$  wprowadzimy rączkę, umożliwiającą narysowanie tej krawędzi tak, aby nie przecinała innych, to otrzymamy rysunek grafu  $G$  bez przecięć na powierzchni rodzaju  $|S|$ , co kończy dowód.

Uogólnienie twierdzenia Eulera dla grafów genusu  $g$  ma postać:

**Tw.** Jeśli genus grafu  $G$  o  $n$  wierzchołkach,  $m$  krawędziach i  $f$  ścianach jest równy  $g$ , to  $n - m + f = 2 - 2g$ .

# Genus grafu

**Tw.** *Jeśli  $G$  jest grafem genusu  $g$  o  $n \geq 4$  wierzchołkach,  $m$  krawędziach, to*

$$g(G) \geq \left\lceil \frac{m-3n}{6} + 1 \right\rceil.$$

**Dowód:**

- Na mocy lematu o pocałunkach:  $2m \geq 3f$  lub równoważnie  $-2m \leq -3f$ .
- Z uogólnionego wzoru Eulera wynika:

$$n - m + f = 2 - 2g$$

co zapisujemy w postaci

$$g = 1 + (n - m + f)/2.$$

- Stąd

$$g = 1 + (2m - 3n - 3f)/6 \geq 1 + (3m - 3n - 2m)/6 = 1 + (m - 3n)/6.$$

- Po uwzględnieniu, że  $g$  jest liczbą całkowitą, przyjmujemy jako oszacowanie dolne „sufit” z otrzymanego wyrażenia.

# Genus grafu pełnego

Po zastosowaniu poprzedniego oszacowania dla grafu pełnego otrzymujemy:

$$g(K_n) \geq \left\lceil \frac{\frac{n(n-1)}{2} - 3n}{6} + 1 \right\rceil = \left\lceil \frac{(n-3)(n-4)}{12} \right\rceil.$$

**Tw. (Ringel i Youngs, 1968)**

$$g(K_n) = \left\lceil \frac{(n-3)(n-4)}{12} \right\rceil.$$

**Wniosek** *Dowolny grafy  $G$  o  $n \leq 7$  wierzchołkach jest planarny lub toroidalny (genusu 1).*

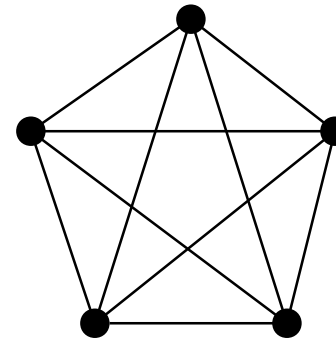
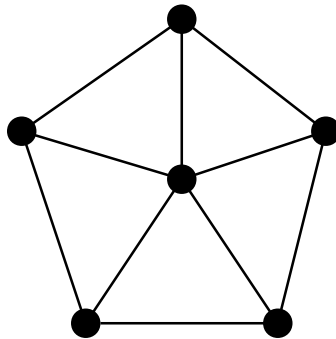
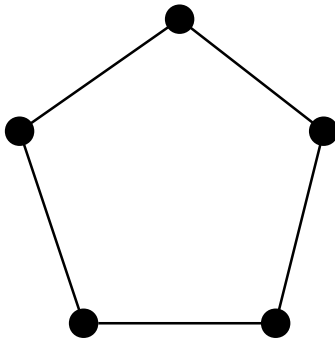
**Dowód:**  $g(G) \leq g(K_7) = \left\lceil (7-3)(7-4)/12 \right\rceil = 1.$

# Kolorowanie wierzchołków

**Def.** Niech  $G$  będzie grafem prostym. Przez *kolorowanie wierzchołków* rozumiemy takie etykietowanie elementów  $V(G)$  liczbami naturalnymi, że sąsiednie wierzchołki otrzymują różne liczby (kolory, etykiety).

**Def.** *Liczba chromatyczna* grafu  $G$  jest to najmniejsza liczba  $k$  taka, że istnieje pokolorowanie  $G$  za pomocą  $k$  kolorów i jest oznaczana symbolem  $\chi(G)$ .

**Przykład** Optymalne (zużywające minimalną liczbę kolorów) pokolorowania grafów  $C_5$ ,  $W_6$ ,  $K_5$ .



# Kolorowanie wierzchołków

**Uwaga** Problem wyznaczania liczby chromatycznej jest w ogólności NP-trudny. Zatem, w praktyce użyteczne są oszacowania.

**Def.** *Kliką* grafu  $G$  nazywamy jego podgraf pełny.

**Lemat** *Prawdziwe jest następujące oszacowanie dolne:*

$$\chi(G) \geq \omega,$$

gdzie  $\omega$  jest rozmiarem maksymalnej kliki grafu  $G$ .

**Uwaga** Powyższe oszacowanie ma dwie wady:

•  $\omega$  jest parametrem trudnym do wyliczenia. Ze związku  $\frac{n^2}{n^2 - 2m} \leq \omega$

otrzymujemy oszacowanie mniej dokładne, lecz łatwe do obliczenia.

• różnica pomiędzy  $\chi(G)$  a  $\omega$  może być dowolnie duża, na co przykładem są grafy Mycielskiego.



# Kolorowanie wierzchołków

**Tw.** *Dla dowolnego grafu o maksymalnym stopniu wierzchołka  $\Delta$  zachodzi oszacowanie  $\chi(G) \leq \Delta + 1$ .*

**Dowód:** Przeprowadzimy indukcję względem  $n$ .

- Jeśli  $n = 1$ , to nierówność oczywiście zachodzi.
- Zakładamy, że twierdzenie jest prawdziwe dla pewnego  $n > 0$ .
- Dowodzimy przypadek, gdy graf  $G$  ma  $n + 1$  wierzchołków.

Usuńmy z  $G$  dowolny wierzchołek  $v$ . Dla grafu  $G - v$  z założenia indukcyjnego mamy:  $\chi(G - v) \leq \Delta + 1$ . Wierzchołek  $v$  ma w grafie  $G$  co najwyżej  $\Delta$  sąsiadów, więc jeden spośród  $\Delta + 1$  kolorów jest dla  $v$  dostępny, co pozwala uzyskać pokolorowanie  $G$  za pomocą co najwyżej  $\Delta + 1$  barw.

**Tw (Brooks, 1941)** *Istnieją dwie klasy grafów, dla których  $\chi(G) = \Delta + 1$ : grafy pełne oraz cykle o nieparzystej liczbie wierzchołków.*

**Wniosek** *Jeśli  $G \neq K_n$  oraz  $\Delta \geq 3$ , to  $\chi(G) \leq \Delta$ .*

# Kolorowanie wierzchołków

**Uwaga** Oszacowanie  $\chi(G) \leq \Delta$  może być bardzo niedokładne, zwłaszcza dla gwiazd, dla których  $\chi(K_{1,s}) = 2$  oraz  $\Delta(K_{1,s}) = s$ .

**Tw.** Dla grafu  $G$  o  $m$  krawędziach zachodzą oszacowania:

$$\chi(G) \leq \sqrt{2m} + 1,$$

$$\chi(G) \leq \lambda + 1,$$

gdzie  $\lambda$  jest długością najdłuższej drogi w grafie  $G$ .

**Uwaga** Pierwsze z powyższych oszacowań może być niedokładne, gdyż dla grafów pełnych dwudzielnych  $K_{k,k}$  różnica

$$\sqrt{2k^2} + 1 - \chi(G) = \sqrt{2}k - 1$$

może przyjmować dowolnie dużą wartość.

**Uwaga** Drugie z oszacowań jest niedokładne dla ścieżki  $P_n$ , dla której  $\chi(P_n) = 2$  oraz  $\lambda(P_n) = n - 1$ .

# Kolorowanie grafów planarnych

**Tw.** *Każdy graf planarny jest 6-barwny.*

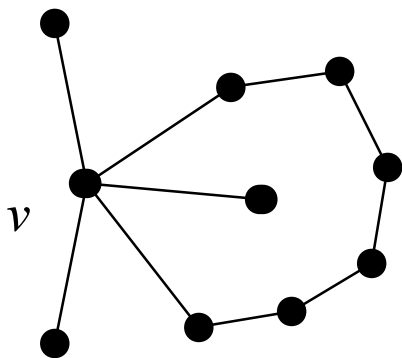
**Dowód:** Zastosujemy indukcję względem liczby wierzchołków grafu.

- Jeśli  $n = 1$ , to twierdzenie jest oczywiście prawdziwe.
- Zakładamy, że własność zachodzi dla wszystkich  $(n-1)$ -wierzchołkowych grafów planarnych.
- Niech  $G$  będzie grafem planarnym o  $n$  wierzchołkach. Wiemy, że  $G$  posiada co najmniej jeden pąk  $v$  (wierzchołek o stopniu mniejszym lub równym 5). Po usunięciu  $v$  mamy  $(n-1)$ -wierzchołkowy graf planarny  $G - v$  do którego stosujemy założenie indukcyjne otrzymując jego 6-pokolorowanie. Wierzchołek  $v$  ma w  $G$  co najwyżej 5 sąsiadów, więc jeden z sześciu kolorów będzie dla  $v$  dostępny. Stąd  $G$  jest 6-barwny.

# Kolorowanie grafów planarnych

**Tw. (Heawood, 1890)** *Każdy graf planarny jest 5-barwny.*

**Dowód:** Podobnie jak w poprzednim twierdzeniu stosujemy indukcję względem  $n$ . Jeśli wyznaczymy (z zał. ind.) 5-pokolorowanie  $G - v$  (gdzie  $v$  jest pakiem) i wierzchołek  $v$  jest incydentny z co najwyżej 4 kolorami, to twierdzenie zachodzi. W przeciwnym wypadku rozważamy przypadki (kolory 1 – czerwony, 2 – zielony, 3 – niebieski, 4 – fioletowy):



Przypadek 2:

- Wierzchołki o kolorach 1,3 (sąsiedzi  $v$ ) wraz z  $v$  tworzą cykl w  $G$
- Wtedy w składowej spójności zawierającej sąsiada  $v$  o kolorze 2 możemy zamienić kolory 2 i 4
- $v$  otrzymuje kolor 2

**Tw. (Appel, Haken + komputer, 1976)** *Każdy graf planarny jest 4-barwny.*

# Algorytmy przybliżone

Przez  $A(G)$  oznaczmy liczbę kolorów, którą algorytm  $A$  używa podczas kolorowania grafu  $G$ . Wyróżniamy następujące parametry, uwzględniane podczas opisu algorytmu przybliżonego  $A$ :

1) Złożoność obliczeniowa.

2) *Funkcja dobroci* zdefiniowana jako:

$$A(n) = \max \{ A(G)/\chi(G) : G \text{ ma } n \text{ wierzchołków} \}.$$

Najgorszą możliwą funkcją dobroci jest  $A(n)=n$ , najlepszą zaś  $A(n)=1$ .

3) Najmniejszy *dość trudny* graf – najmniejszy graf  $G$ , dla którego algorytm może użyć więcej kolorów niż  $\chi(G)$ .

4) Najmniejszy *trudny* graf – najmniejszy graf  $G$ , dla którego algorytm musi użyć więcej kolorów niż  $\chi(G)$ .

# Algorytm sekwencyjny

Algorytm sekwencyjny  $S$  można opisać następująco:

- Uporządkuj w dowolny sposób wierzchołki grafu  $G$   $v_1, \dots, v_n$ .
- Koloruj wierzchołki zachłannie zgodnie z przyjętą permutacją

Własności:

- 1) algorytm statyczny – kolejność wierzchołków ustalona na początku nie zmienia się podczas realizacji algorytmu
- 2) Ścieżka  $P_4$  jest najmniejszym dość trudnym grafem
- 3) Graf trudny nie istnieje
- 4) Funkcja dobroci jest liniowa. Jej oczekiwana wartość wynika z oszacowania:  $S(G) \leq (2 + \varepsilon) \chi(G)$
- 5) Złożoność  $O(n + m)$

# Algorytm $LF$

Algorytm  $LF$  (largest first) można opisać następująco:

- Uporządkuj wierzchołki grafu  $G$  malejąco według stopni  $v_1, \dots, v_n$ .
- Koloruj wierzchołki zachłannie zgodnie z przyjętą permutacją

Własności:

- 1) algorytm statyczny – kolejność wierzchołków ustalona na początku nie zmienia się podczas realizacji algorytmu
- 2) Ścieżka  $P_6$  jest najmniejszym dość trudnym grafem:

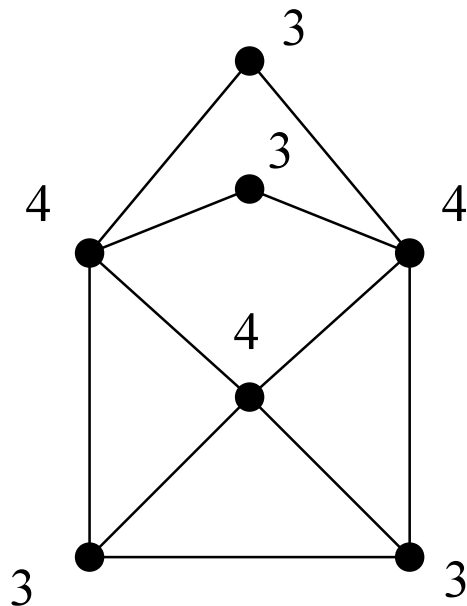


Kolejność wierzchołków:  $v_2, v_5, v_3, v_4, v_1, v_6$ .

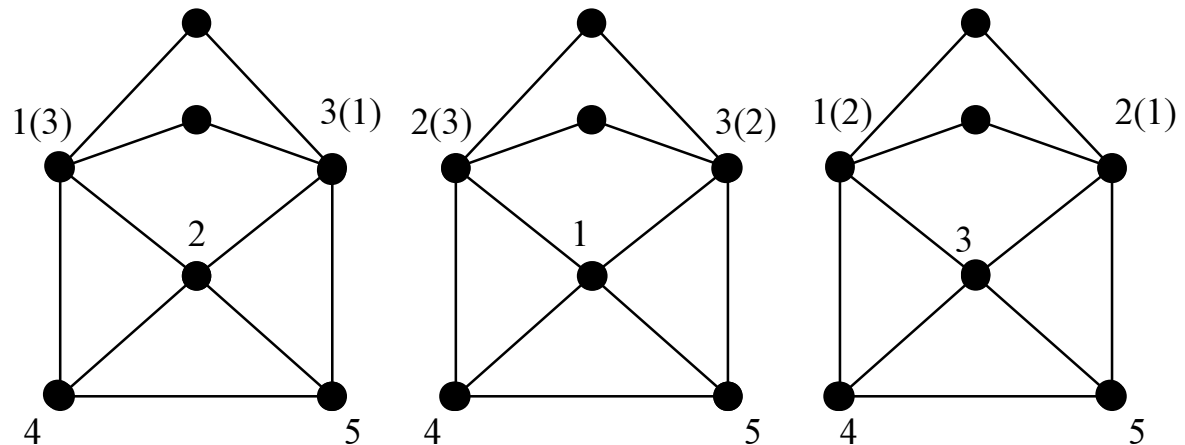
# Algorytm $LF$

Własności algorytm  $LF$  (c.d.):

3) najmniejszym trudnym grafem do kolorowania jest „koperta”, która jest grafem 3-barwnym, natomiast  $LF$  zużywa czterech kolorów:



„Koperta” wraz z oznaczonymi stopniami wierzchołków



a) Szeregujemy wierzchołki stopnia 4

b) Kolorujemy te wierzchołki

c) W każdym przypadku wybór wierzch. stopnia 3 jest symetryczny

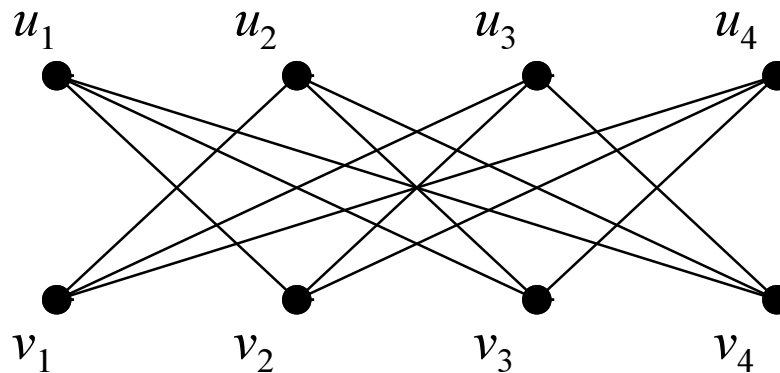
d) We wszystkich przyp. wymagany kolor nr 5



# Algorytm $LF$

Własności algorytm  $LF$  (cd.):

4) funkcja dobroci to  $O(n)$ . Zdefiniujemy  $k$ -ty graf Johnsona  $J_k$  jako  $K_{k,k} - M$ , gdzie  $M = \{\{u_i, v_i\} : u_i \in V_1(K_{k,k}), v_i \in V_2(K_{k,k})\}$ . Przykład grafu  $J_4$  pokazuje rysunek (wraz z pokolorowaniem utworzonym przez algorytm  $LF$ ).



$\chi(J_k) = 2$ , gdyż grafy Johnsona są dwudzielne. Dla permutacji wierzchołków  $u_1, v_1, u_2, v_2, \dots, u_k, v_k$  algorytm  $LF$  używa  $k$  kolorów.

Stąd

$$\frac{LF(J_k)}{\chi(J_k)} = \frac{n/2}{2} = \frac{n}{4}$$

# Algorytm *SL*

Algorytm *SL* (smallest last) składa się z dwóch etapów:

- 1) faza redukcji grafu: usuwamy wierzchołek o minimalnym stopniu i usuwamy go z grafu (powtarzamy dopóki graf nie jest pusty).
- 2) kolorujemy wierzchołki zachłannie w kolejności ustalonej w poprzednim kroku, zaczynając od wierzchołków usuwanych później.

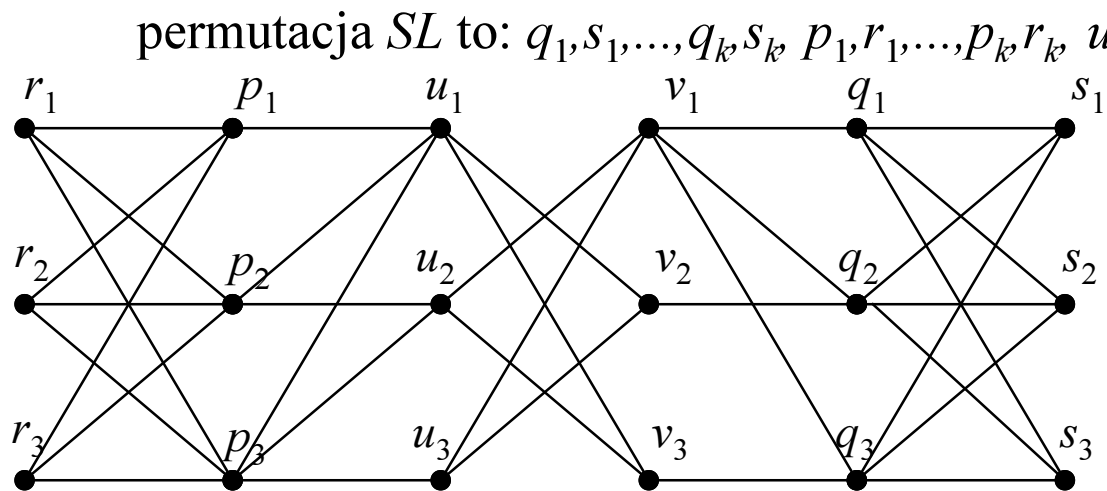
Własności:

- Algorytm statyczny
- Złożoność algorytmu:  $O(n + m)$
- Funkcja dobroci jest liniowa
- Przypadki pozytywne: drzewa, cykle, grafy jednocykliczne, koła, grafy Mycielskiego, grafy Johnsona, grafy planarne

# Algorytm $SL$

Własności (cd.) :

- Przypadki półpozytywne: grafy Mycielskiego, grafy Johnsona, grafy planarne (za pomocą sześciu kolorów w czasie  $O(n)$ )
- Przypadki negatywne: grafy dwudzielne, grafy Colemena-Moore'a



$$SL(CM_3) = 4$$

Ogólnie:

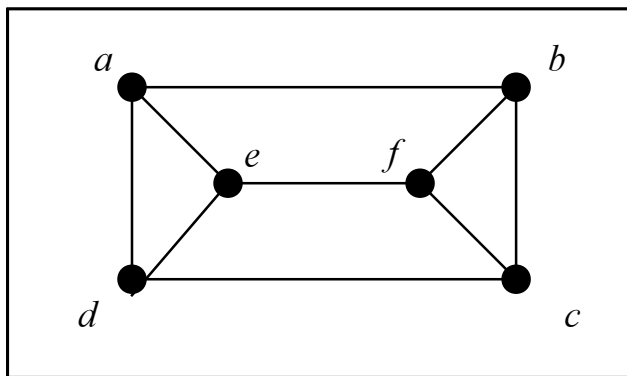
$$SL(CM_k) = k$$

$$\chi(CM_k) = 2$$

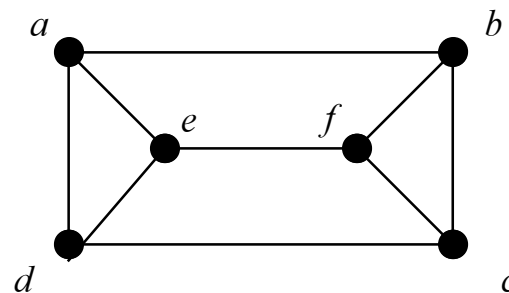
# Algorytm *SL*

Własności algorytmu (cd.):

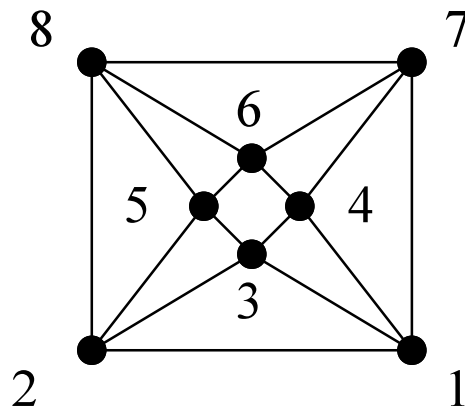
- Najmniejszym dość trudnym grafem jest „pryzma”



Permutacja:  $a \ b \ f \ e \ c \ d$



- Najmniejszym trudnym grafem jest „pryzmatoid”:



# Algorytm *SLF*

Algorytm *SLF* (saturacyjny LF) można opisać następująco:

```
while istnieją nie pokolorowane wierzchołki do begin  
    znajdź wierzchołek o maksymalnym stopniu spośród  
    wierzchołków o maksymalnym stopniu nasycenia;  
    pokoloruj znaleziony wierzchołek zachłannie;  
end
```

**Uwaga** *Stopień nasycenia* wierzchołka to ilość różnych kolorów incydentnych z tym wierzchołkiem.

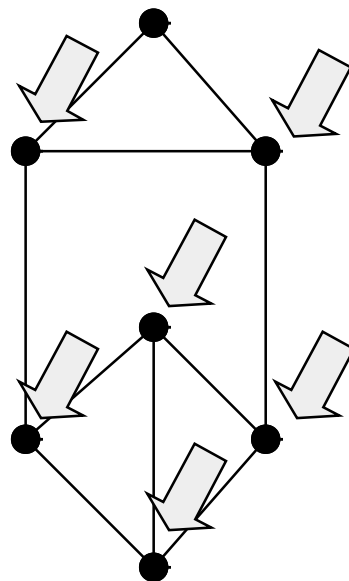
- Przypadki pozytywne: grafy dwudzielne (w tym drzewa i grafy Johnsona), cykle, koła, kaktusy
- Przypadki negatywne: grafy trójdzielne

# Algorytm *SLF*

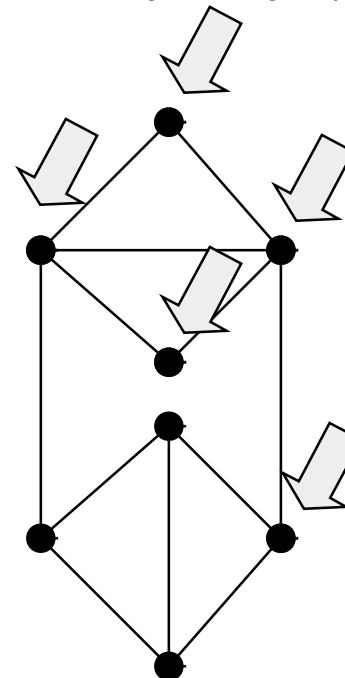
### Własności algorytmu:

- Złożoność:  $O(m \log n)$

- Najmniejszy dość trudny graf:



- Najmniejszy trudny graf:



Pozostałe wierzchołki  
7 mogą być kolorowane w  
dowolnej kolejności, co  
zawsze prowadzi do  
użycia czwartego koloru.

# Kolorowanie krawędzi

**Def.** Funkcja  $c:E(G)\rightarrow\{1,...,k\}$  jest  $k$ -pokolorowaniem krawędziowym grafu  $G$ , o ile dla każdej pary sąsiednich krawędzi  $e$  i  $e'$  zachodzi  $c(e)\neq c(e')$ . Najmniejsze  $k$ , dla którego istnieje krawędziowe  $k$ -pokolorowanie nazywamy *indeksem chromatycznym* grafu  $G$  i oznaczamy symbolem  $\chi'(G)$

**Uwaga** Pokolorowanie wierzchołków oznaczało rozbicie  $V$  na zbiory niezależne, natomiast pokolorowanie krawędzi  $k$  kolorami jest rozbięciem grafu na  $k$  skojarzeń.

**Uwaga** Problem kolorowania krawędzi jest równoważny kolorowaniu wierzchołków grafu krawędziowego.

**Przykład**  $\chi'(G) = 2$  dla ścieżek i cykli parzystych

$\chi'(G) = 3$  dla drzew binarnych i cykli nieparzystych

# Oszacowania dolne

**Tw.** *Zachodzi oszacowanie  $\Delta \leq \chi'(G)$*

**Dowód:** Wynika stąd, iż wszystkie krawędzie incydentne z tym samym wierzchołkiem muszą otrzymać parami różne kolory.

**Tw.** *Zachodzi oszacowanie  $\lceil m/t \rceil \leq \chi'(G)$ , gdzie  $t$  jest rozmiarem maksymalnego skojarzenia.*

**Dowód:**

- Niech będzie dane pewne pokolorowanie grafu  $G$ .
- Zauważmy, że każdy z  $k$  kolorów jest przydzielony co najwyżej  $t$  krawędziom grafu  $G$ .
- Redukujemy graf, usuwając krawędzie o pewnym ustalonym kolorze.
- W każdym takim kroku usuniemy co najwyżej  $t$  krawędzi, co oznacza, że musimy wykonać co najmniej  $\lceil m/t \rceil$  powyższych kroków, aby zredukować graf do grafu pustego.
- Ilość kroków jest równa ilości kolorów, co kończy dowód.



# Oszacowania górne

**Tw.**  $\chi'(G) \leq \max\{\Delta, \lfloor \deg(u) + \deg(v) + \deg(w) \rfloor / 2\}$ , gdzie maksimum jest obliczane względem wszystkich dróg elementarnych długości 2.

**Tw (Shannon, 1949).**  $\chi'(G) \leq 3\Delta/2$

**Tw (Vizing, 1964).**  $\chi'(G) \leq \Delta + \mu$ , gdzie  $\mu$  jest maksymalnym zwielokrotnieniem krawędzi w grafie, tzn.  $\mu$  jest największą liczbą  $k$  taką, że występuje para wierzchołków połączonych  $k$  krawędziami.

## Uwaga

- Dla dużych wartości parametru  $\mu$  i specyficznych grafów (np. dwuwierzchołkowych), oszacowanie Vizing'a jest słabsze od oszacowania Ore'go.
- Dla  $\mu = 1$  oszacowanie Vizing'a jest bardzo dokładne jako, że  $\chi'(G) \geq \Delta$ .

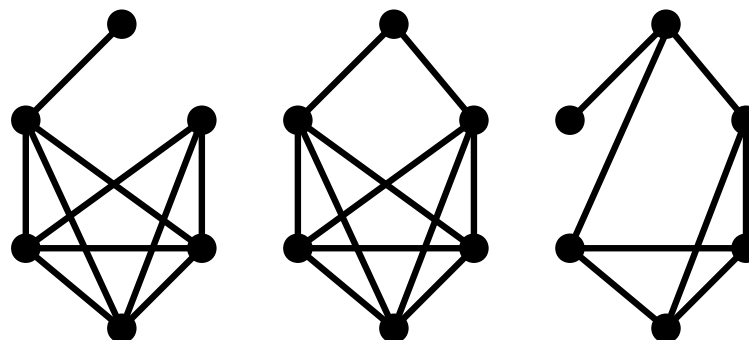
# Tw. Vizinga

**Wniosek** Dla grafów prostych  $G$  zachodzi  $\Delta \leq \chi'(G) \leq \Delta + 1$ .

## Uwaga

- Grafy, dla których  $\chi'(G) = \Delta$  nazywamy grafami *klasy 1*. Przykłady to grafy dwudzielne, pełne o parzystej liczbie wierzchołków, planarne o  $\Delta \geq 8$ , nieparzystego rzędu z gwiazdą spinającą.
- Grafy *klasy 2*, to takie, dla których  $\chi'(G) = \Delta + 1$ . Przykładami są nieparzyste cykle, pełne nieparzystego rzędu, regularne nieparzystego rzędu.

**Uwaga** Grafów klasy 1 jest znacznie więcej. Np. spośród 112 grafów rzędu 6, tylko 3 są klasy 2.



# Algorytm $NC$

Algorytm w każdym kroku wybiera dowolną krawędź i przydziela jej najniższy kolor, spośród kolorów, które nie zostały użyte do pokolorowania krawędzi sąsiednich.

Własności:

- Złożoność algorytmu to  $O(m\Delta)$
- Najmniejszym dość trudnym grafem jest ścieżka  $P_4$
- Najmniejszy trudny graf nie istnieje
- Algorytm jest 2-przybliżony, tzn.  $NC(G) < 2\chi'(G)$ .

Uzasadnienie: Jeśli algorytm  $NC$  koloruje pewną krawędź  $e = \{u, v\}$ , to w najgorszym przypadku są  $\deg(u) + \deg(v) - 2$  zabronione kolory dla  $e$ .

Oznacza to, że kolor przydzielony  $e$  jest nie większy niż  $\deg(u) + \deg(v) - 1$ .

$$\begin{aligned} \text{Stąd:} \quad NC(G) &\leq \max \{ \deg(u) + \deg(v) - 1 : \{u, v\} \in E(G) \} \\ &\leq 2\Delta - 1 < 2\Delta \leq 2\chi'(G). \end{aligned}$$

# Algorytm *NTL*

Nazwa metody pochodzi od pierwszych liter nazwisk jej twórców  
(Nishizeki, Terada, Leven)

**Procedure** AlgorytmNTL(  $G$  )

**begin**

if  $\Delta(G) \leq 2$  **then** koloruj optymalnie trawersując ścieżki i cykle;

**else begin**

$q := \Delta(G) + 1$ ;  $G' := (V(G), \emptyset)$ ;

**for** każda  $e \in E(G)$  **do begin**

$G' := G' + e$ ;

**if**  $e = \{u, v\}$  nie może otrzymać wspólnego koloru brakującego  
        w  $u$  i  $v$  **then**

            Recolor(  $u, v$  );

        koloruj  $e$ ;

**end**

**end**

**end**